

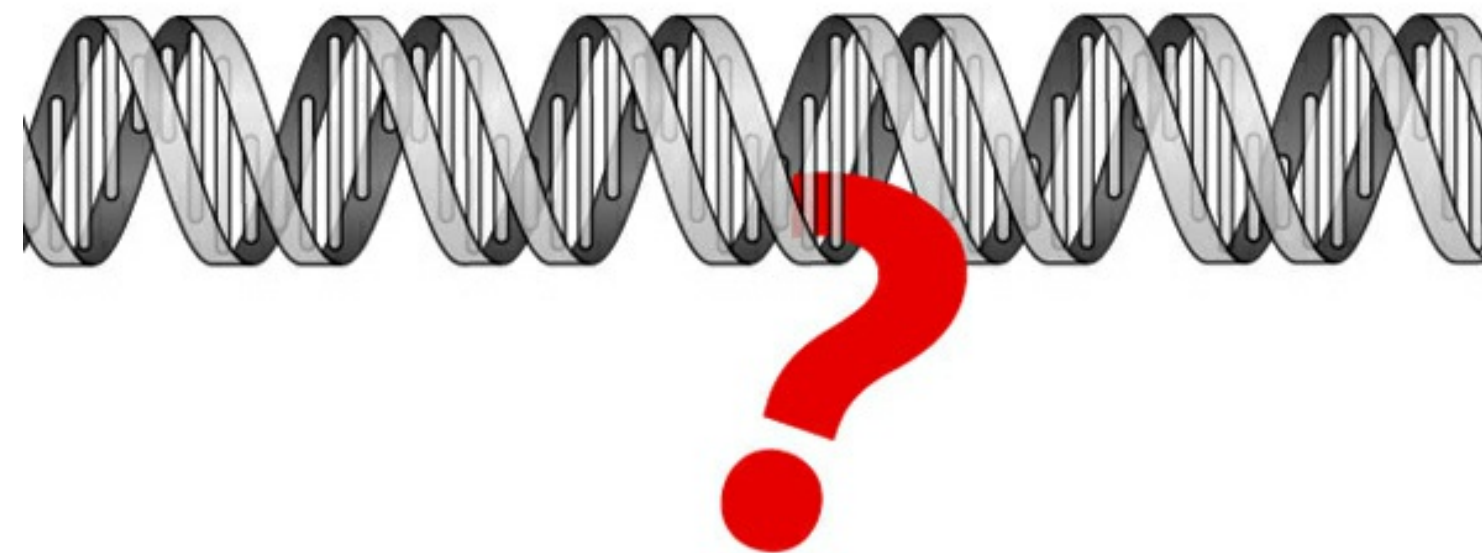
# Séquençage

Février 2016

Bérénice Batut

 [berenice.batut@udamail.fr](mailto:berenice.batut@udamail.fr)

# Séquençage



Crédits : <http://scienceprogress.org>

# Séquençage ADN

Détermination de l'ordre d'enchaînement des nucléotides  
d'un fragment d'ADN/ARN donné

# Pourquoi séquencer l'ADN?

Identification de gènes, de régions plus larges, de chromosomes ou de génomes entiers

# Applications

- Biologie moléculaire
- Biologie évolutive
- Métagénomique
- Médecine
- Forensiques

# Un peu de bibliographie

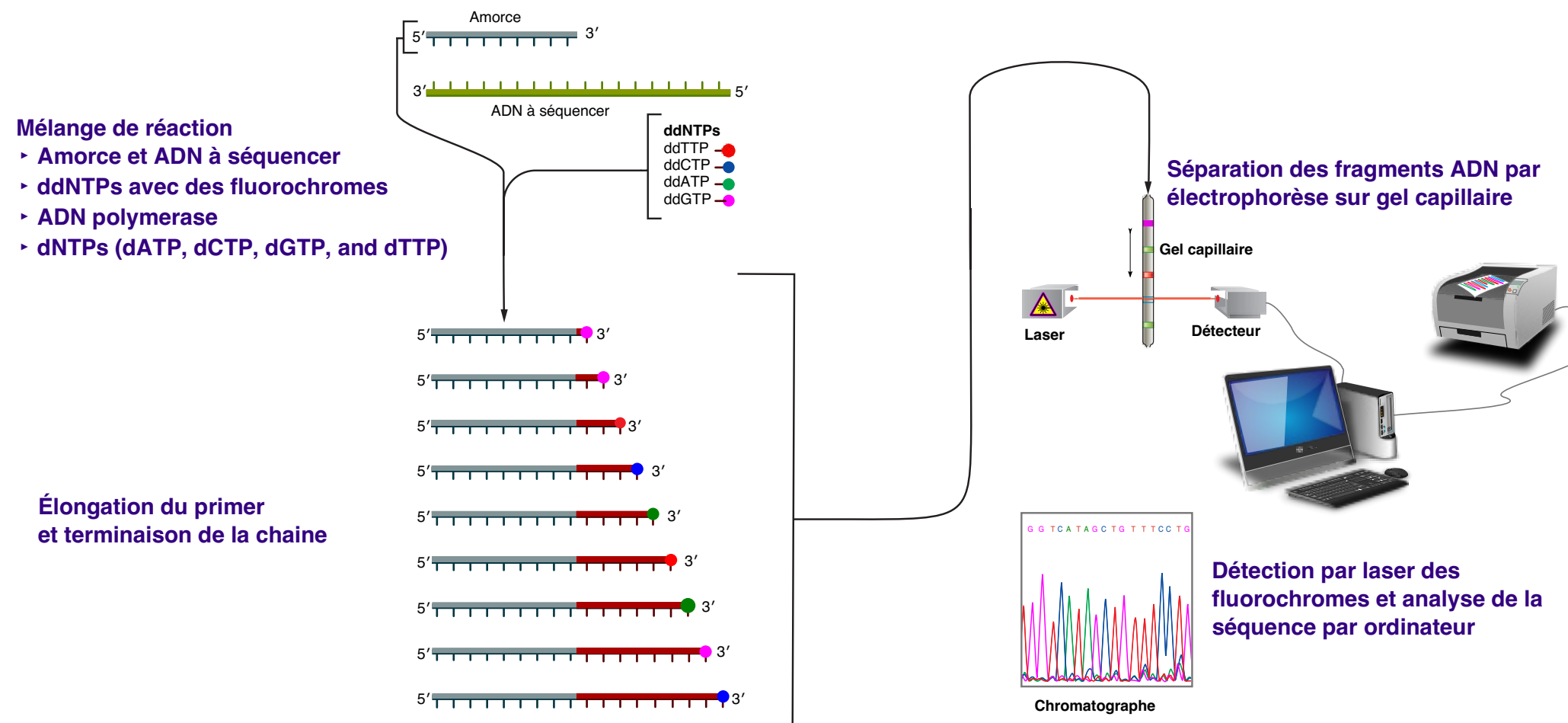
- Revue sur l'histoire du début du séquençage et de la bioinformatique : *Hutchinson, Nucl Acids Res, 2007*
- Revues sur les différentes méthodes de séquençage
  - *Metzker, Genome Res, 2005*
  - *Metzker, Nature Rev Genet, 2010*
  - *Schadt et al, Hum Mol Genet, 2010*

# Méthodes de séquençage

# Première génération

# Séquençage de Sanger

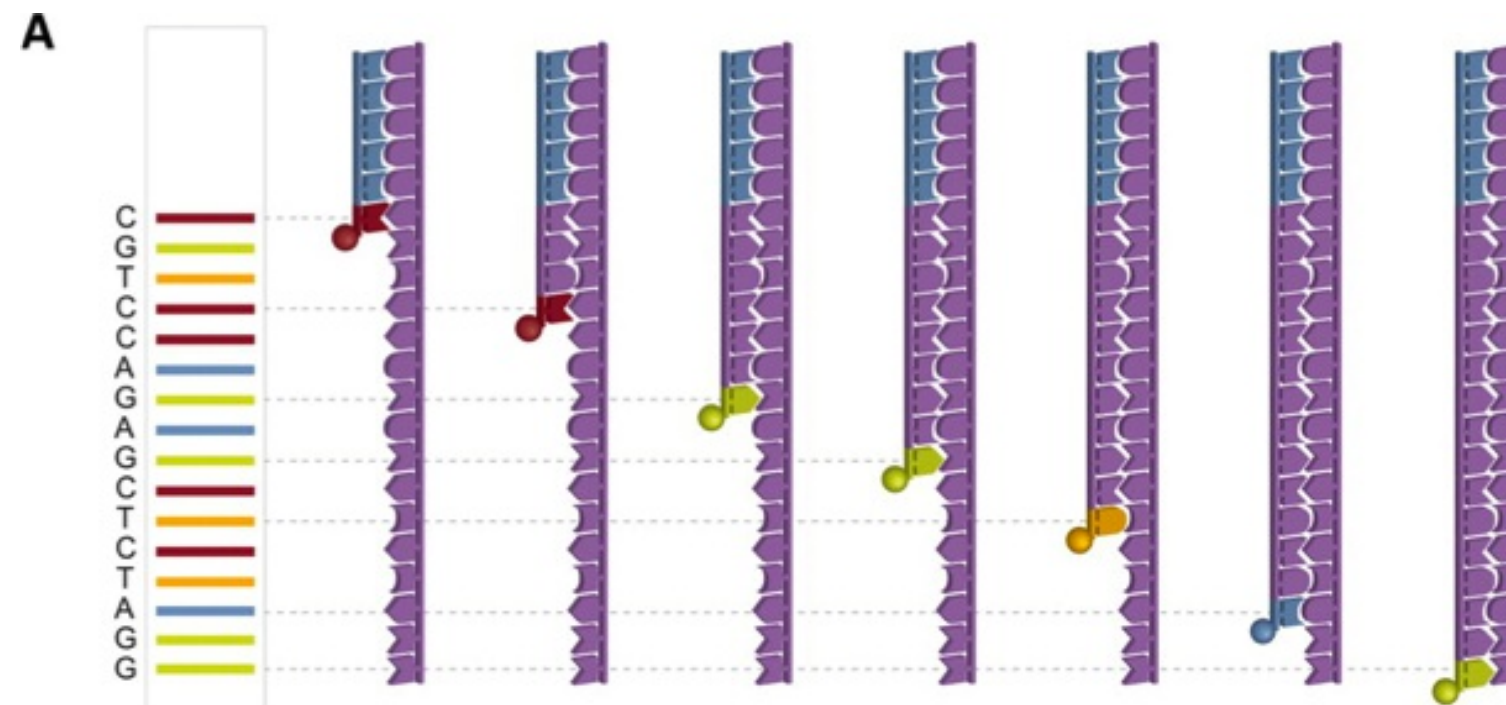
Sanger & Coulson, J Mol Biol, 1975; Sanger et al, Proc Natl Acad Sci USA, 1977



Crédits : Estvezj (modifié)

# Séquençage de Sanger

*Sanger & Coulson, J Mol Biol, 1975; Sanger et al, Proc Natl Acad Sci USA, 1977*



Crédits : *Schadt et al, Hum Mol Genet, 2010*

# Avantages

- Bonne qualité des séquences jusqu'à 1kb
- 1 run ~ 2h
- Nombreux outils de traitements bioinformatique

## Limites

- Coûts élevés (~ 3€ par séquence)
- Pas haut-débit (384 séquences par run)

# Seconde génération

# Principe

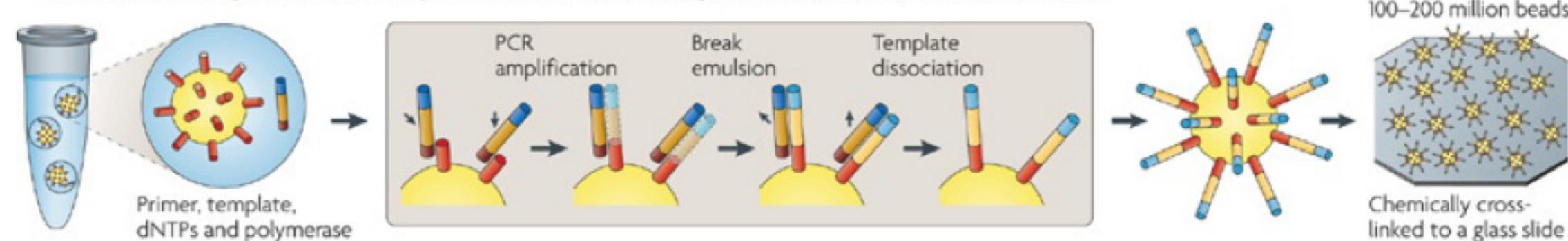
- Préparation de l'échantillon
  - Amplification clonale
  - Immobilisation
- Séquençage et visualisation
  - Cycle reversible termination (CRT)
  - Sequencing by ligation (SBL)
  - Single-nucleotide addition (SNA)
  - Real-time sequencing

# Préparation de l'échantillon (1)

## Amplification clonale par émulsion PCR

a Roche/454, Life/APG, Polonator  
Emulsion PCR

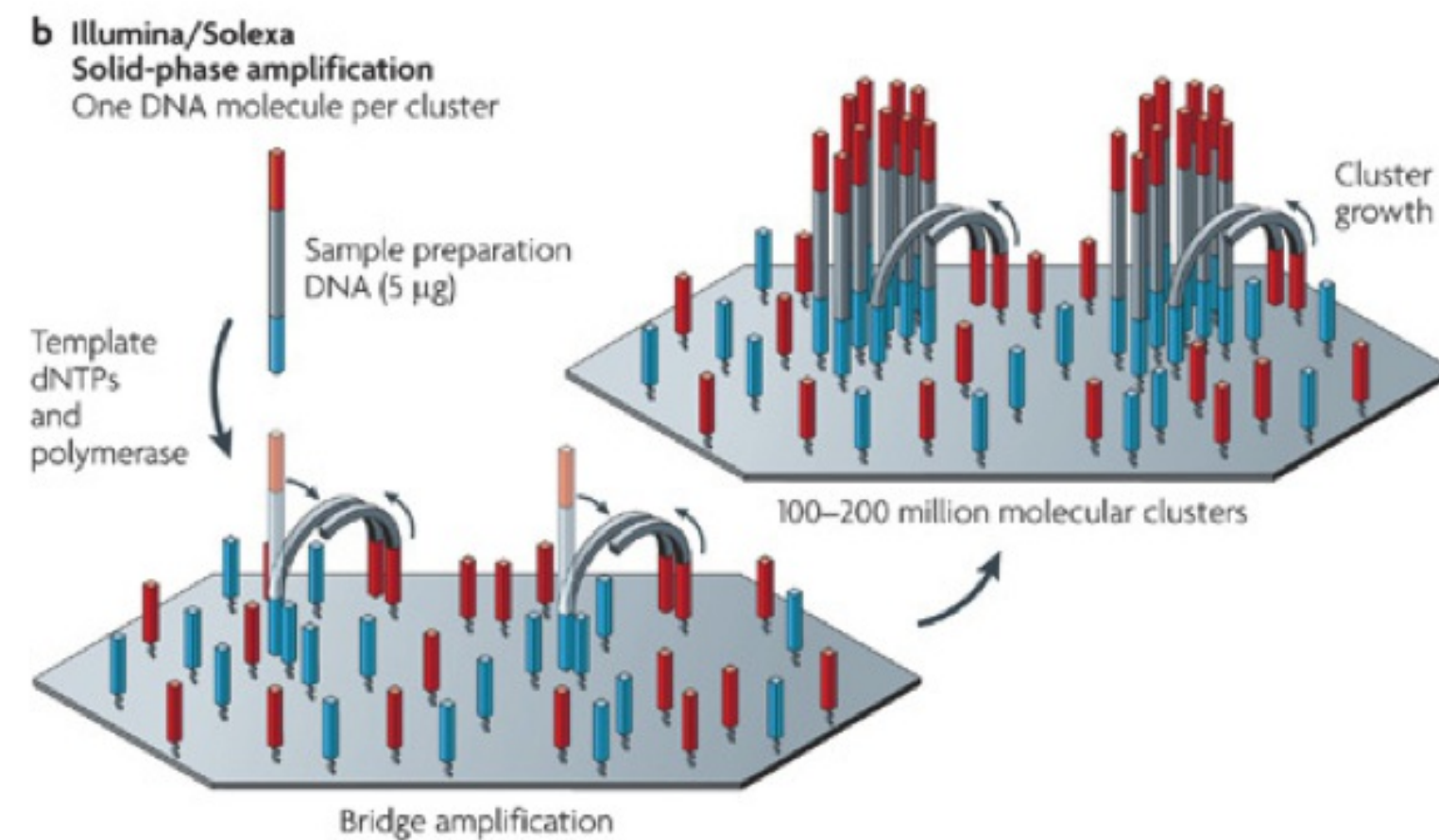
One DNA molecule per bead. Clonal amplification to thousands of copies occurs in microreactors in an emulsion



Crédits : [Metzker, Nature Rev Genet, 2010](#)

# Préparation de l'échantillon (1)

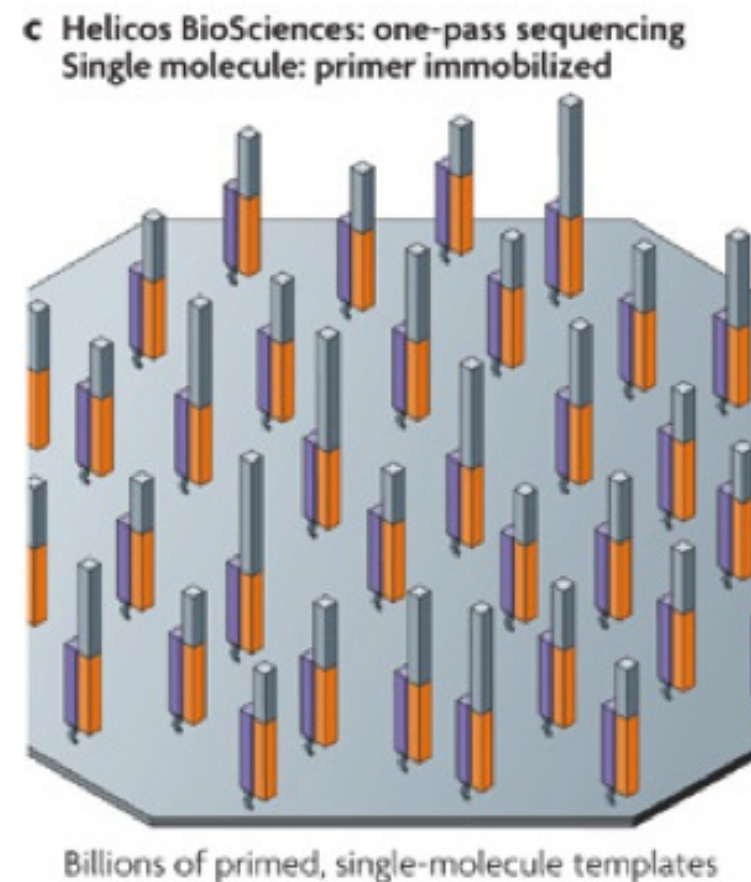
## Amplification clonale solid-phase



Crédits : Metzker, Nature Rev Genet, 2010

# Préparation de l'échantillon (2)

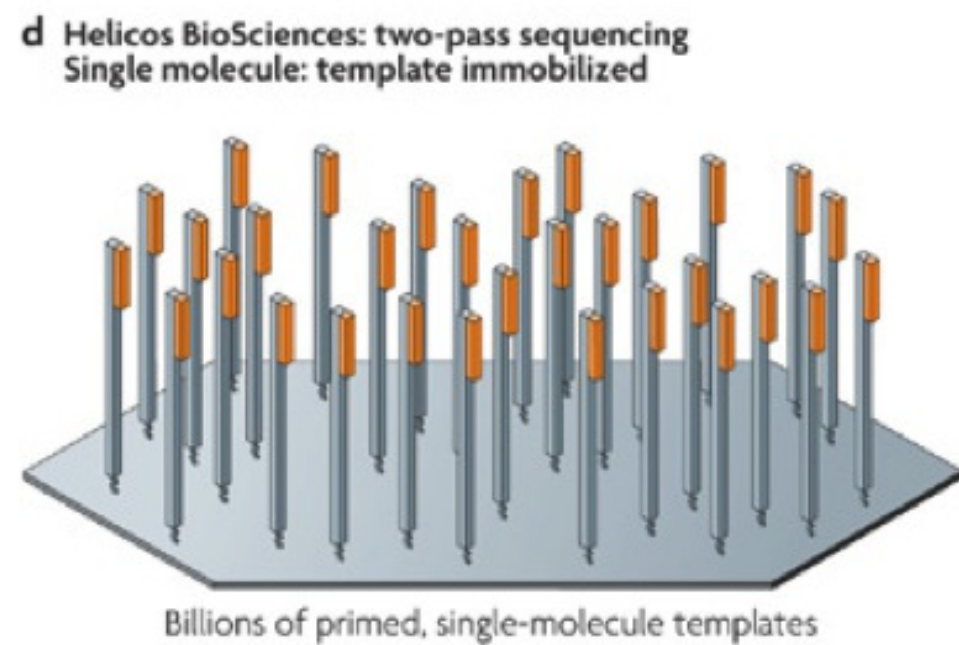
## Immobilisation des primers



Crédits : [Metzker, Nature Rev Genet, 2010](#)

# Préparation de l'échantillon (2)

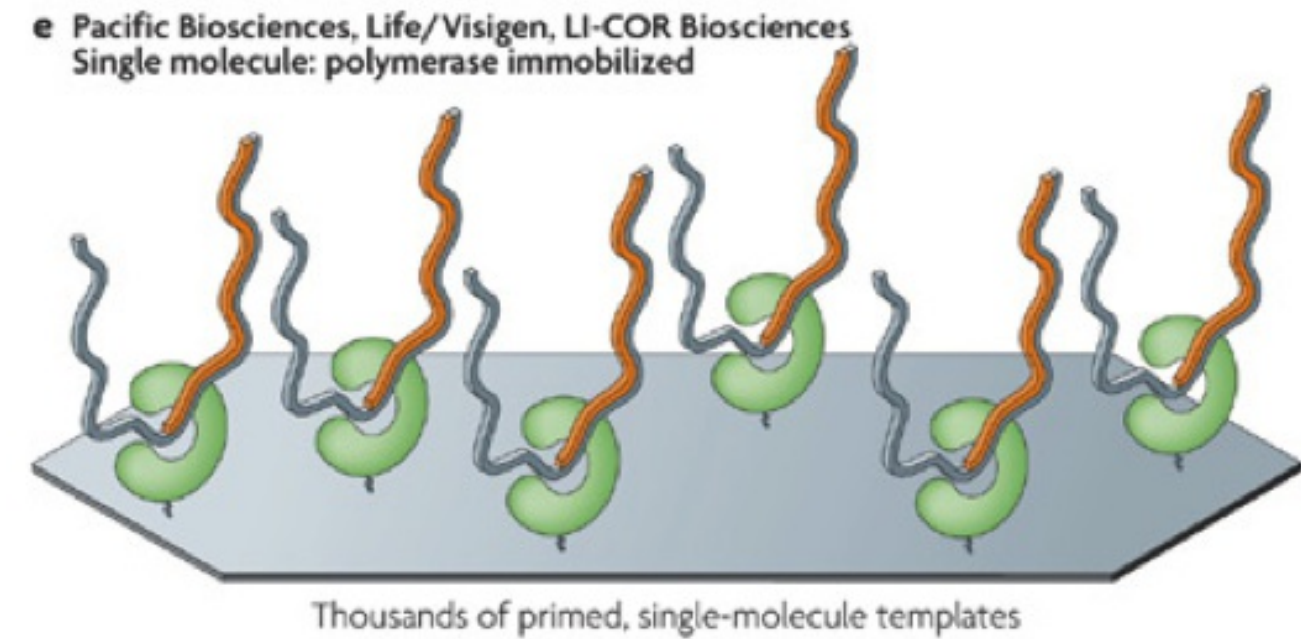
## Immobilisation des templates



Crédits : [Metzker, Nature Rev Genet, 2010](#)

# Préparation de l'échantillon (2)

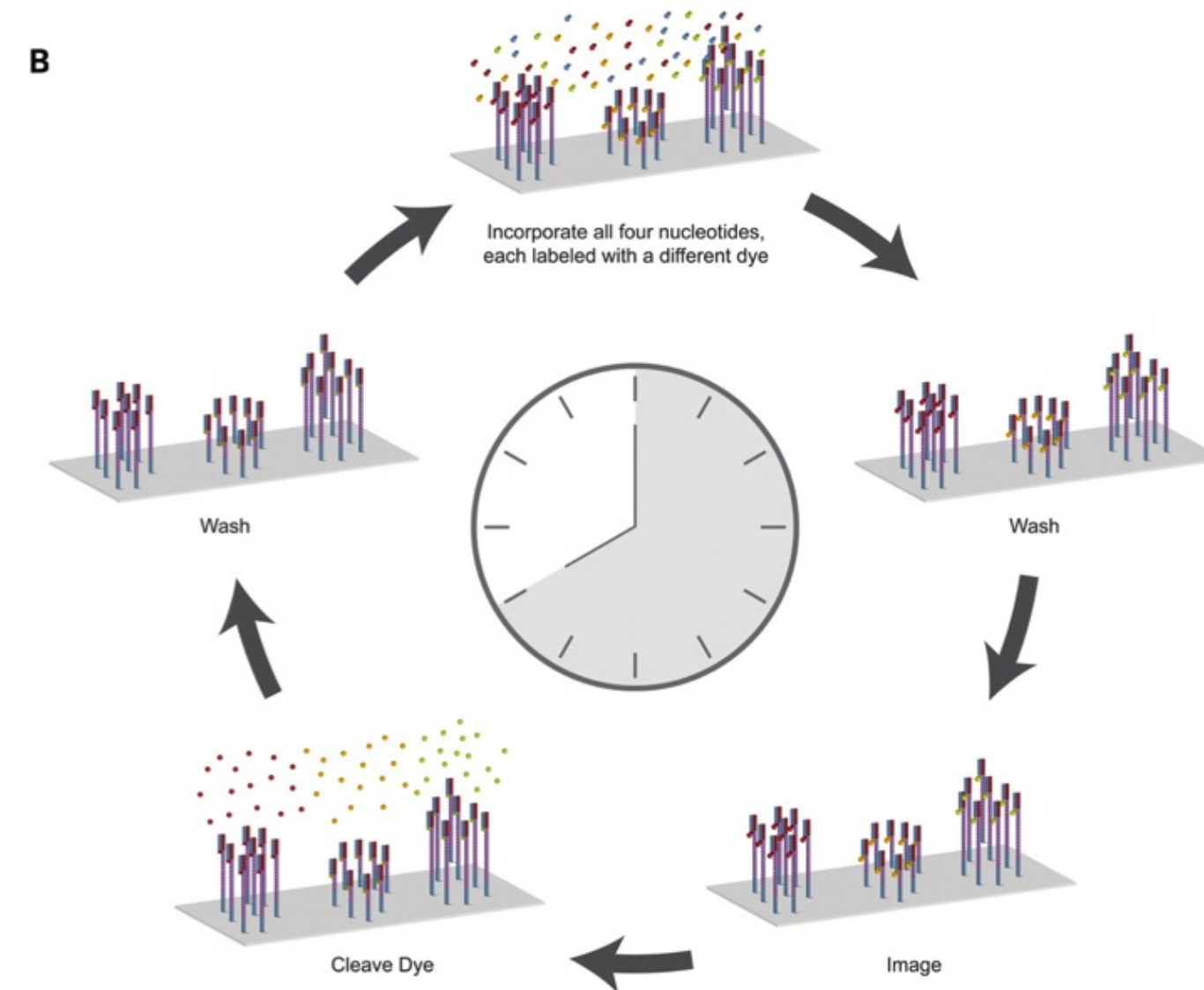
## Immobilisation des polymérase



Crédits : [Metzker, Nature Rev Genet, 2010](#)

# Séquençage et visualisation

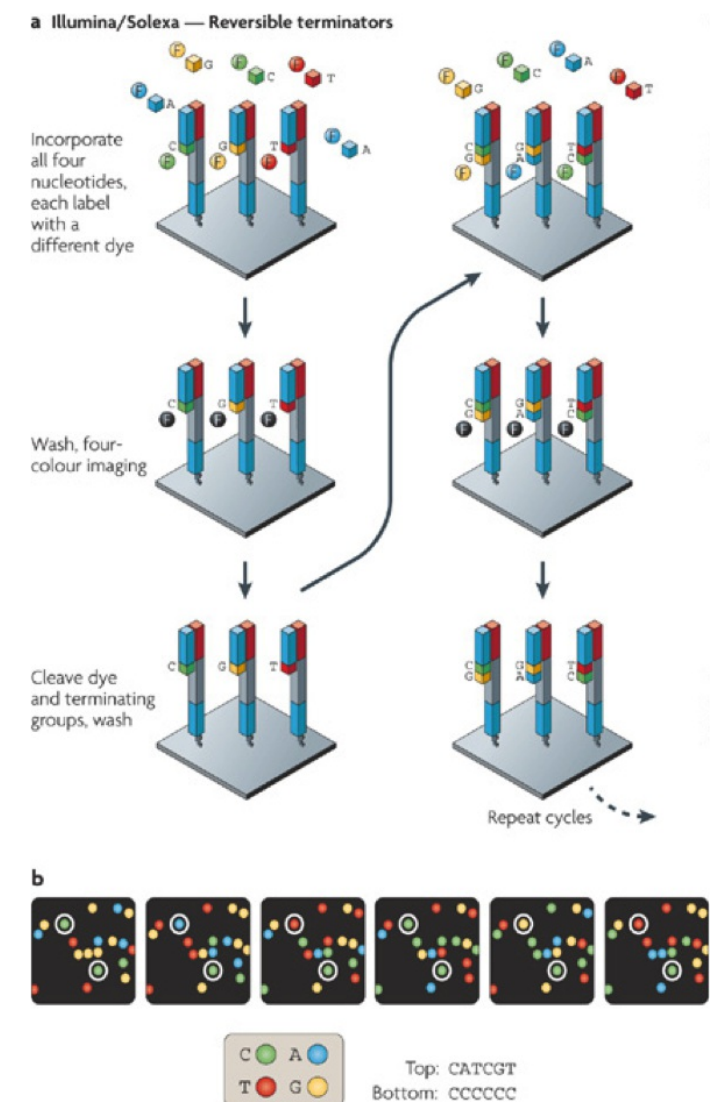
## Cyclic reversible termination (CRT)



Crédits : Schadt et al, Hum Mol Genet, 2010

# Séquençage et visualisation

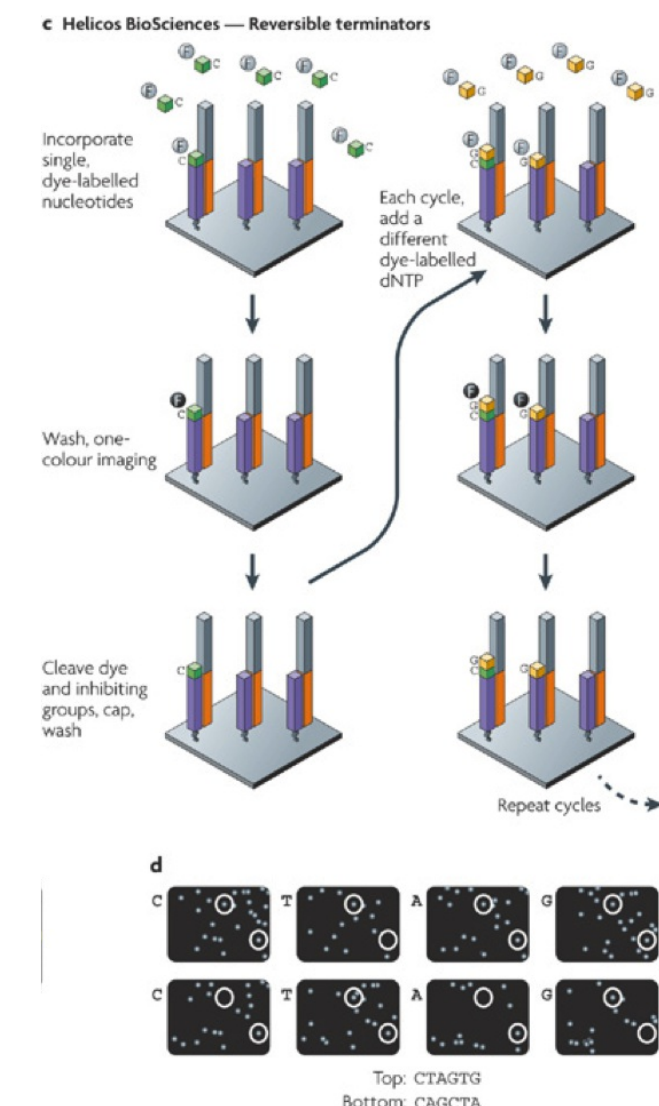
## Cyclic reversible termination (CRT)



Crédits : [Metzker, Nature Rev Genet, 2010](#)

# Séquençage et visualisation

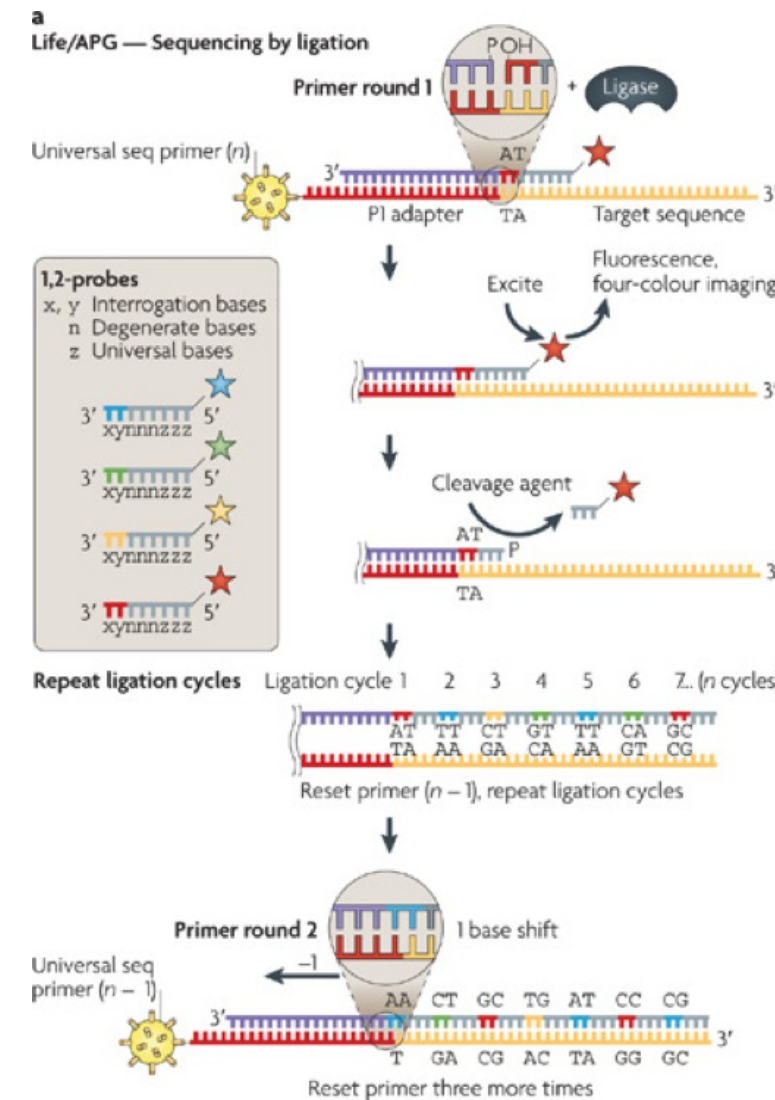
## Cyclic reversible termination (CRT)



Crédits : [Metzker, Nature Rev Genet, 2010](#)

# Séquençage et visualisation

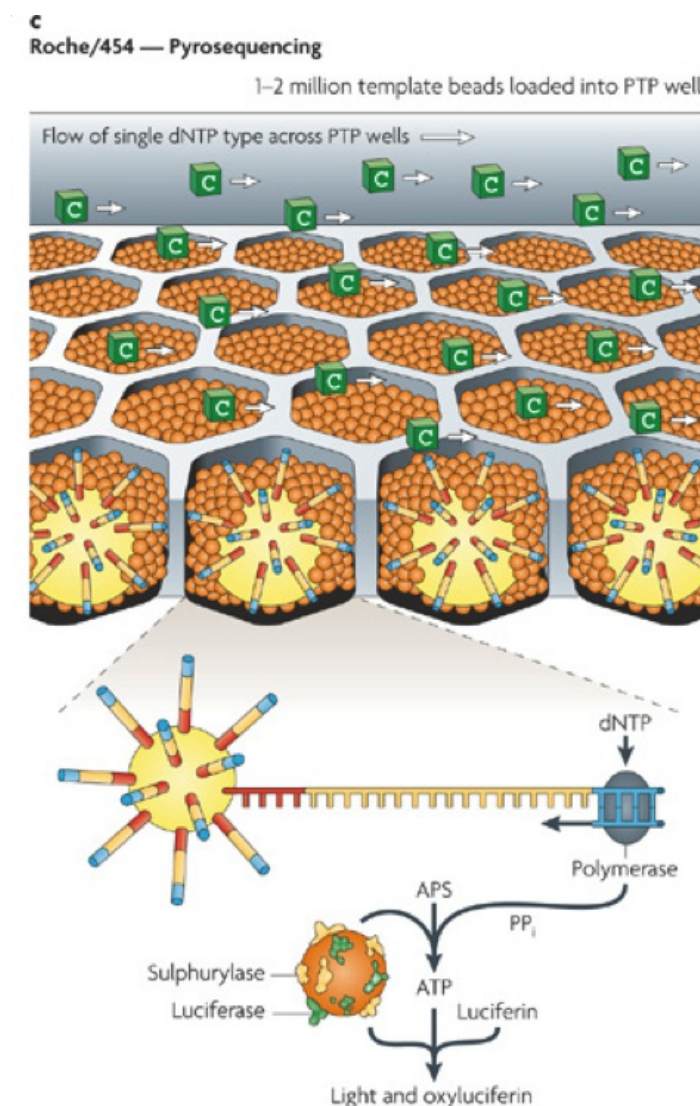
## Sequencing by ligation (SBL)



Crédits : [Metzker, Nature Rev Genet, 2010](#)

# Séquençage et visualisation

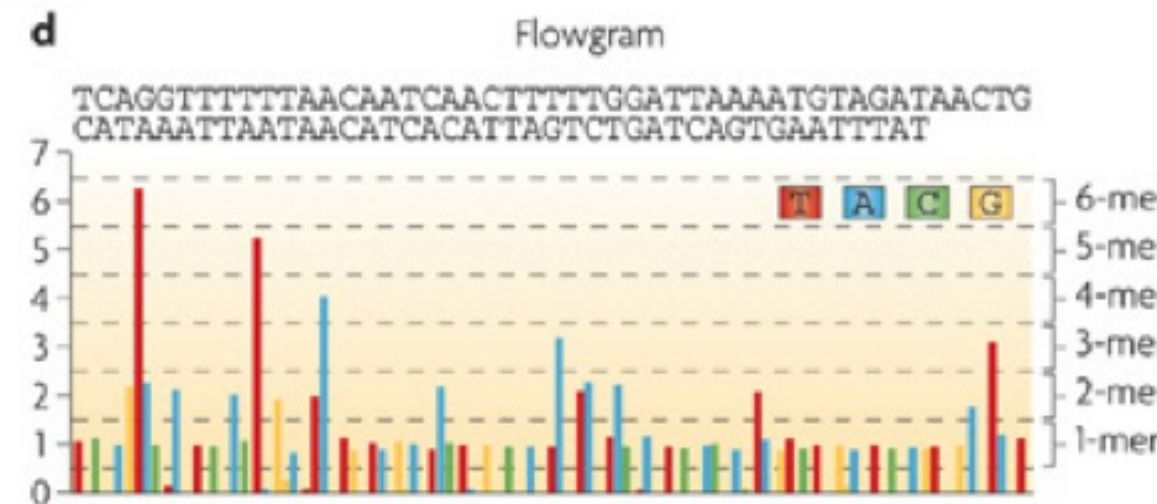
## Single-nucleotide addition (SNA) ou pyroséquençage



Crédits : [Metzker, Nature Rev Genet, 2010](#)

# Séquençage et visualisation

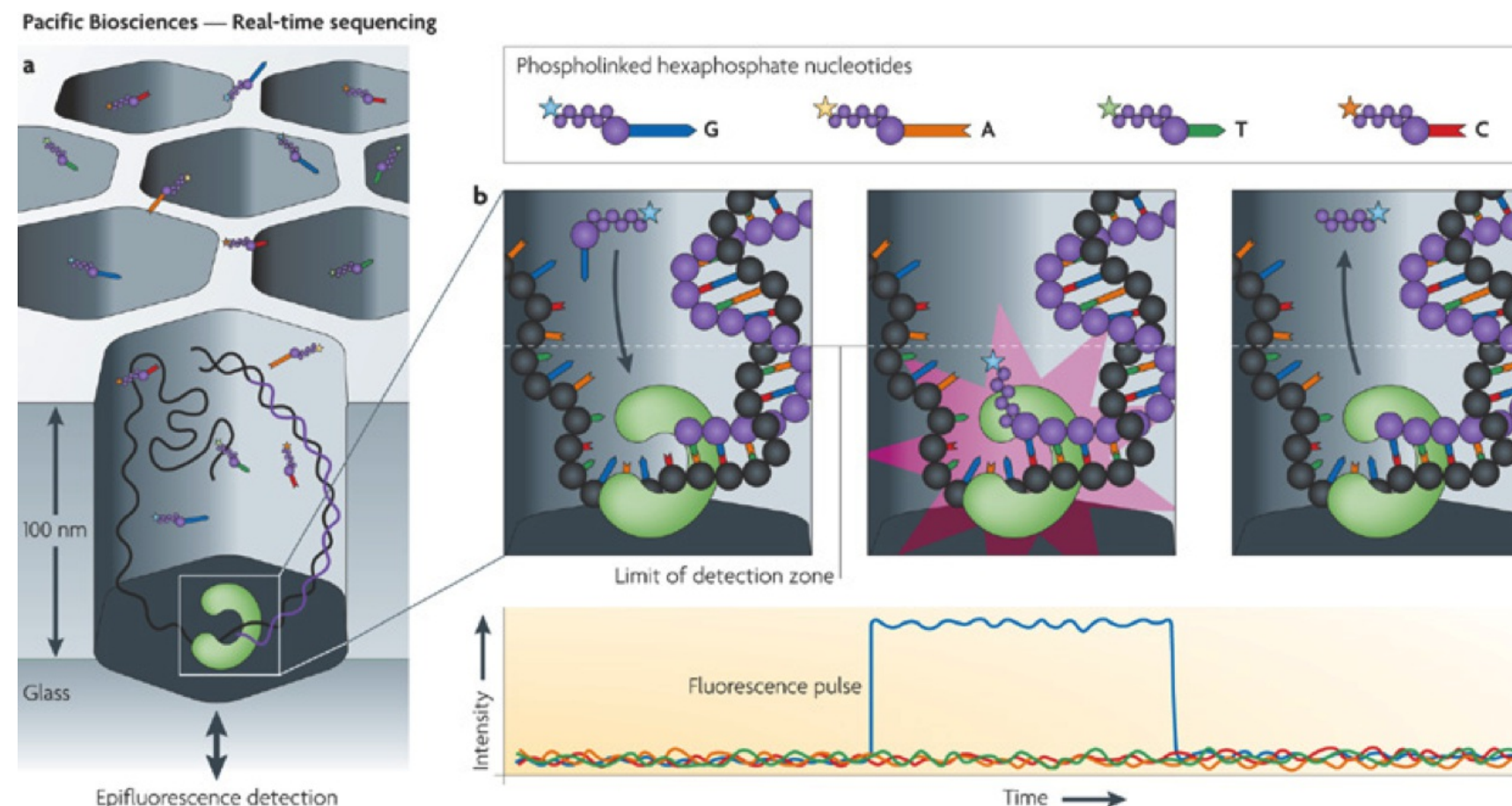
Single-nucleotide addition (SNA) ou pyroséquençage



Crédits : [Metzker, Nature Rev Genet, 2010](#)

# Séquençage et visualisation

## Real-time sequencing



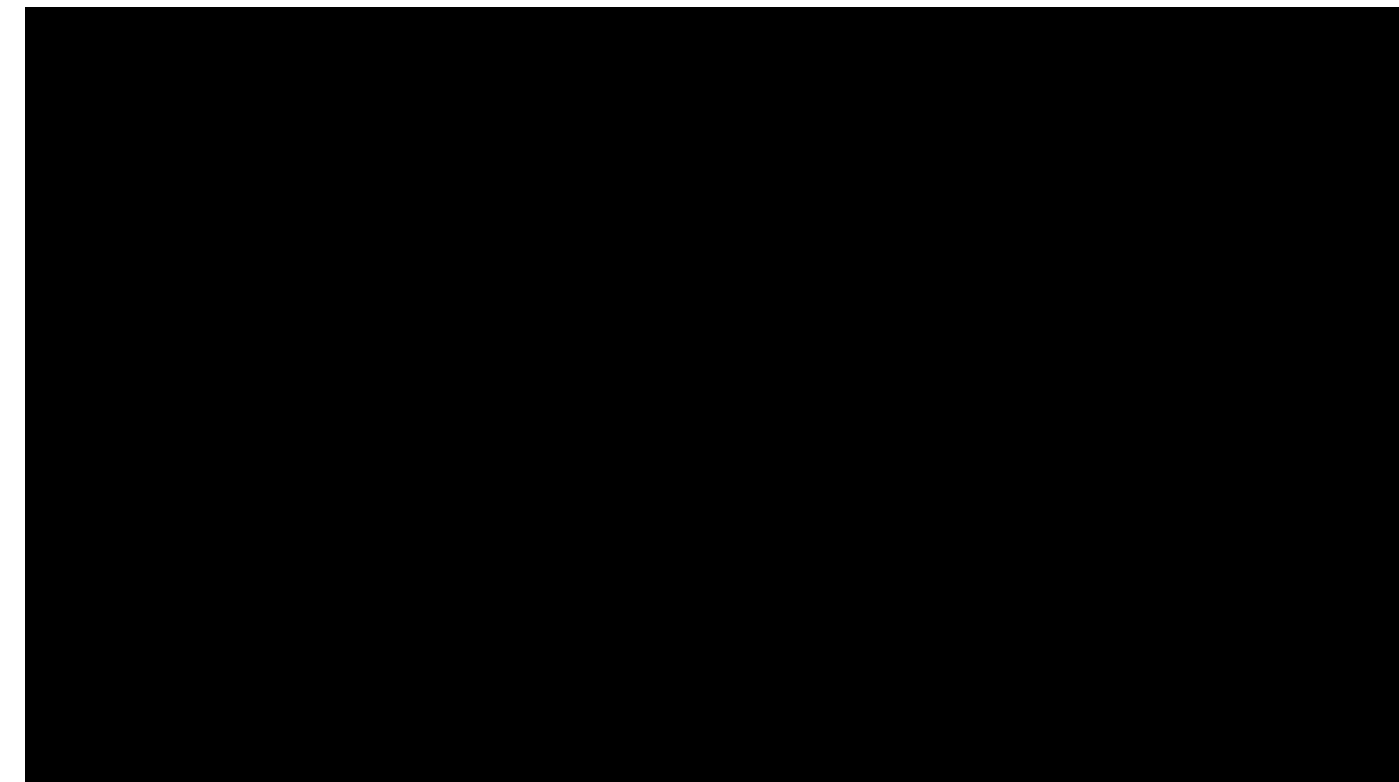
Crédits : [Metzker, Nature Rev Genet, 2010](#)

# Différentes plateformes

Plateforme	Préparation	Séquençage
Roche/454	PCR par émulsion	Pyroséquençage
Illumina	Solid-phase amplification	CRT
Life/APG	PCR par émulsion	SBL
Polonator	PCR par émulsion	SBL
Helicos (Biosciences)	Immobilisation des templates ou primers	CRT
Pacific (Biosciences)	Immobilisation des polymérasées	Real-time

Crédits : [Metzker, Nature Rev Genet, 2010](#)

# Illumina



Vidéo YouTube

# Avantages

- Haut-débit
- Coûts faibles

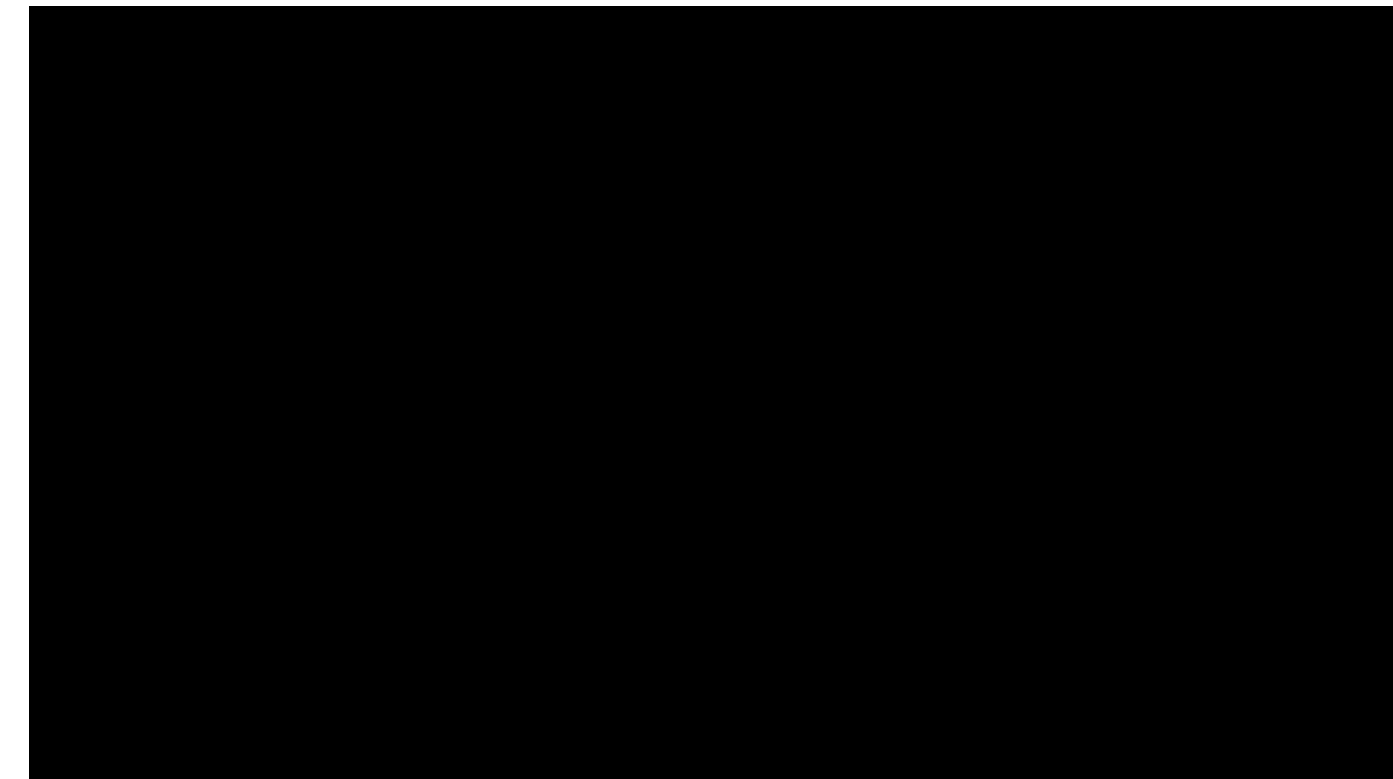
# Limites

- Amplification
  - Risque d'erreur
  - Augmentation de la complexité et du temps associé à la préparation
- Génération importante de données
  - Traitement
  - Stockage
- Séquences courtes

Entre la 2e et 3e génération

# Ion Torrent

Mesure du largage d'un H<sup>+</sup> lors de l'incorporation d'une base  
avec une puce électronique



Vidéo YouTube

# Ion Torrent

- Avantages
  - Pas besoin de lumière, scanning et caméras
- Limites
  - Système "wash-and-scan" avec une amplification PCR

# Helicos Genetic Analysis Platform

Imagerie d'ADN individuels fixés sur une surface plane pendant leur élongation avec une polymérase modifiée et des nucléotides fluorescents

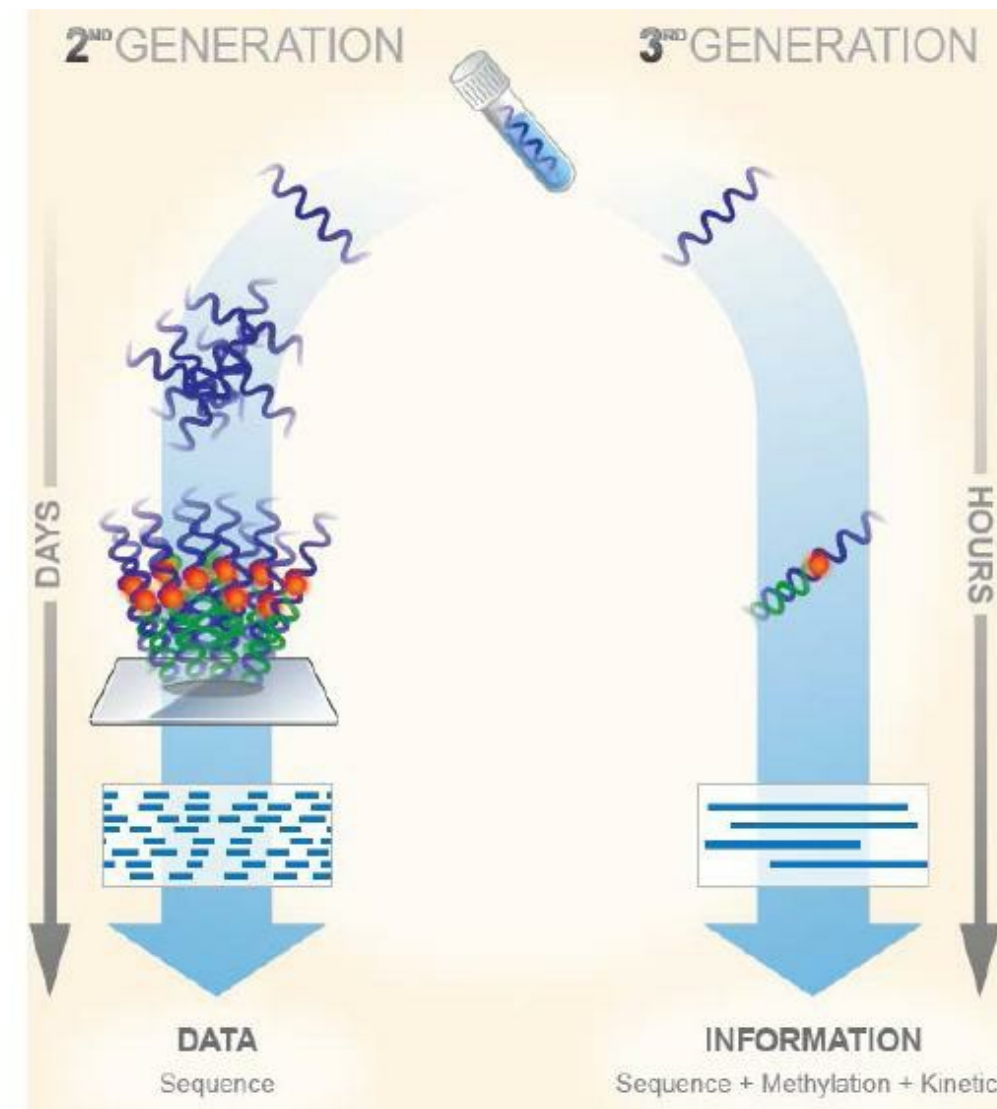
# Helicos Genetic Analysis Platform

- Avantages
  - Pas de PCR
- Limites
  - Arrêt de l'elongation
  - Taux d'erreur > 5%

# Troisième génération

# Troisième génération

## Single-molecule sequencing (SMS)



Crédits : <http://www.biorigami.com>

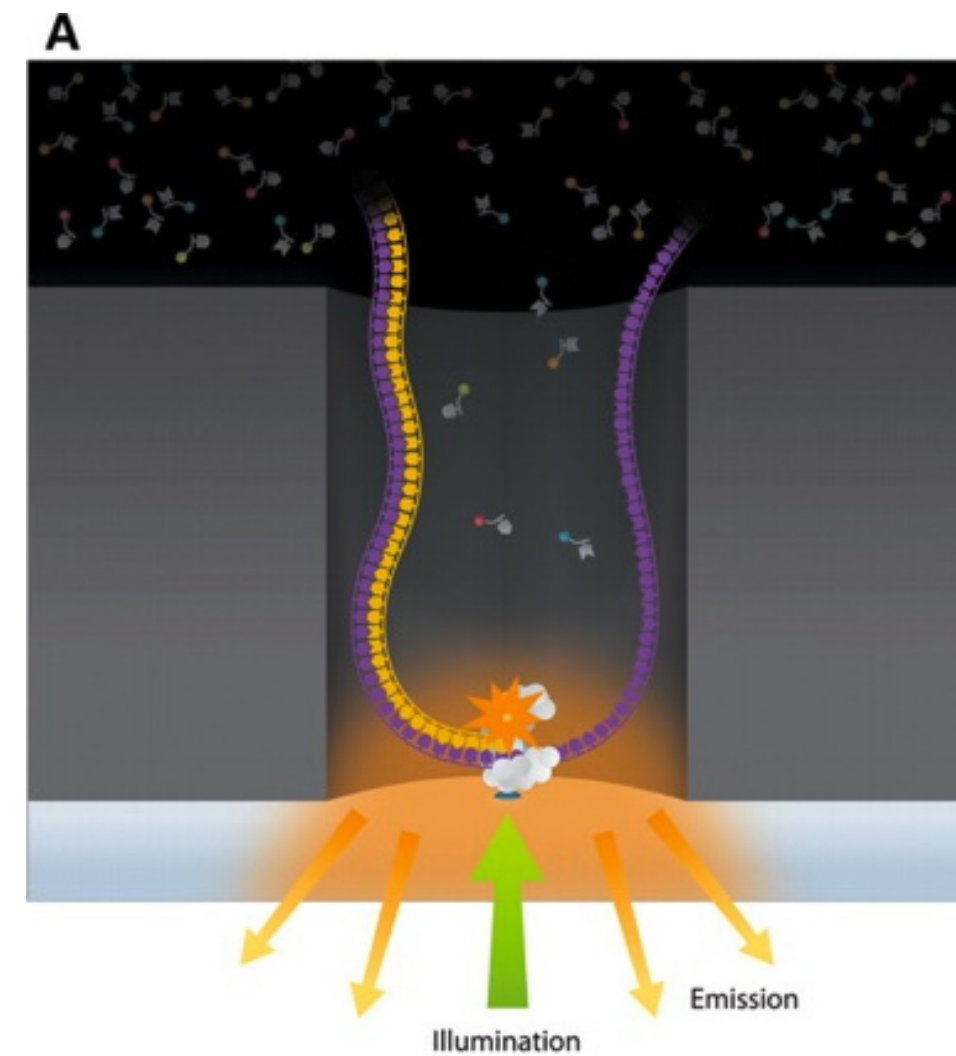
# Troisième génération

## 3 principales méthodes

- SBS
- Nanopores
- Imagerie directe

# Sequencing by synthesis (SBS)

Observation de molécules d'ADN polymérases seules lors de la synthèse d'une seule molécule d'ADN

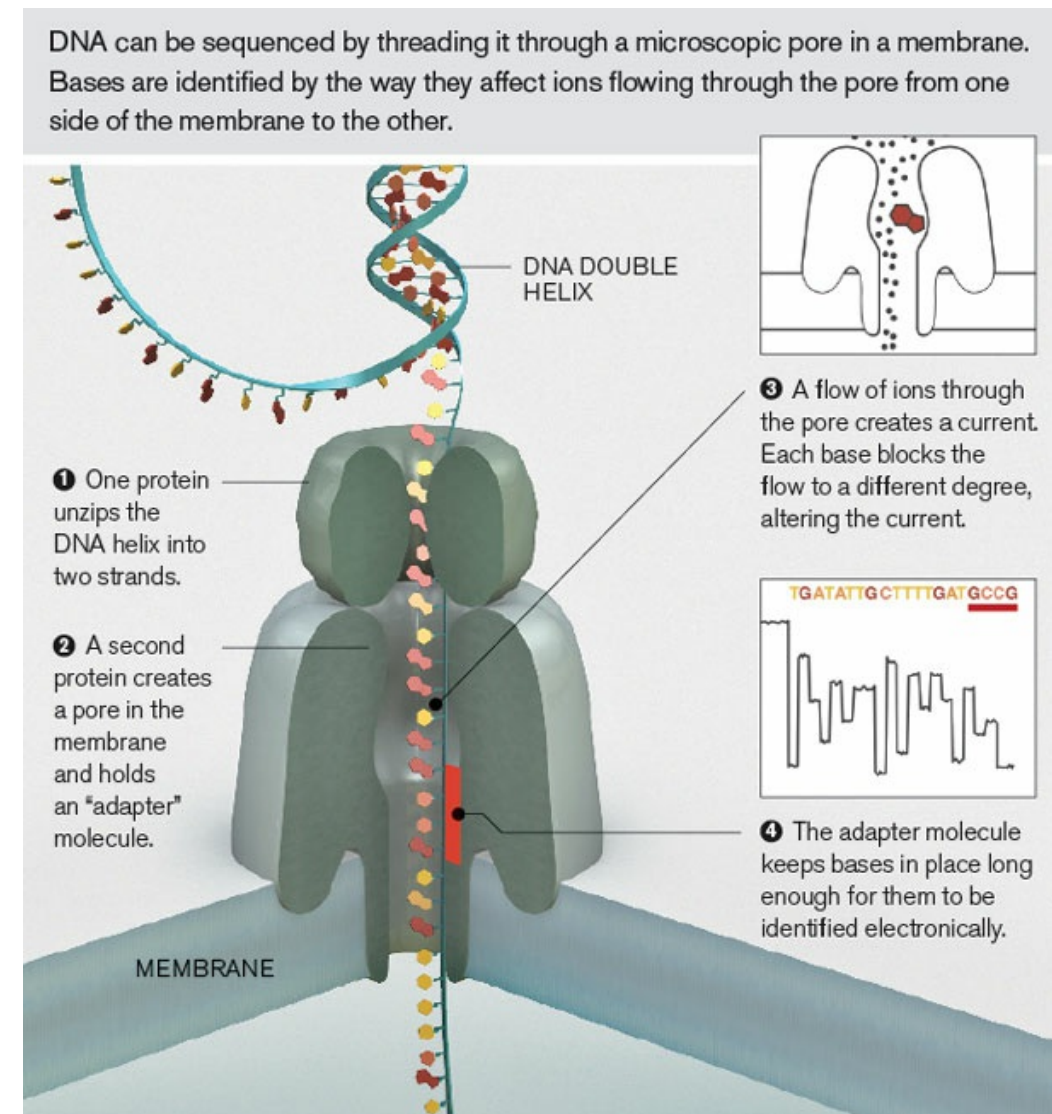


# Sequencing by synthesis (SBS)

## 2 techniques

- Séquençage en temps réel de molécules simples
- Séquençage en temps réel avec observation du transfert d'énergie entre molécules fluorescentes

# Nanopores

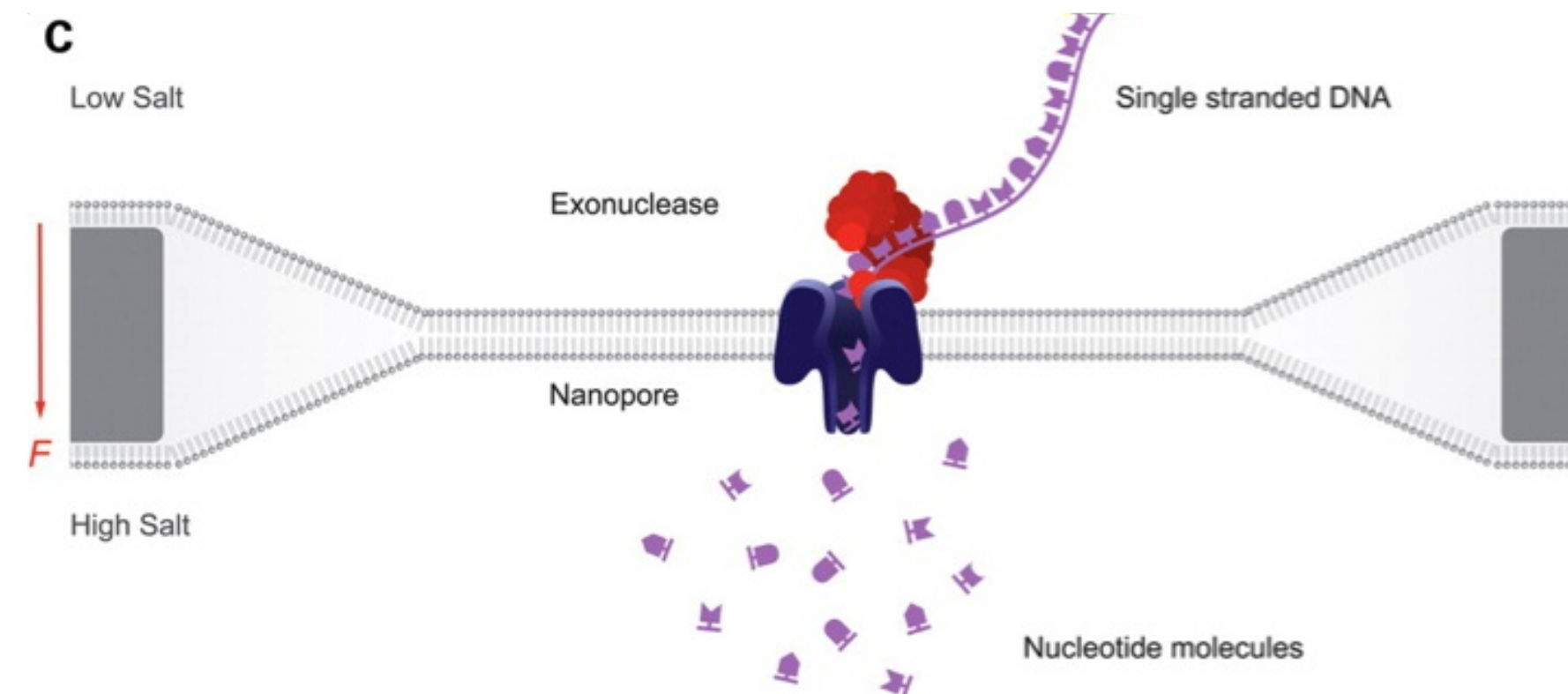


Crédits : John MacNeill

# Nanopores

## 4 méthodes

- Détection électrique directe des molécules d'ADN simple



Crédits : *Schadt et al, Hum Mol Genet, 2010*

# Nanopores

4 méthodes

- Détection électrique directe des molécules d'ADN simple



# Nanopores

## 4 méthodes

- Détection électrique directe des molécules d'ADN simple
- Séquençage médié par un transistor

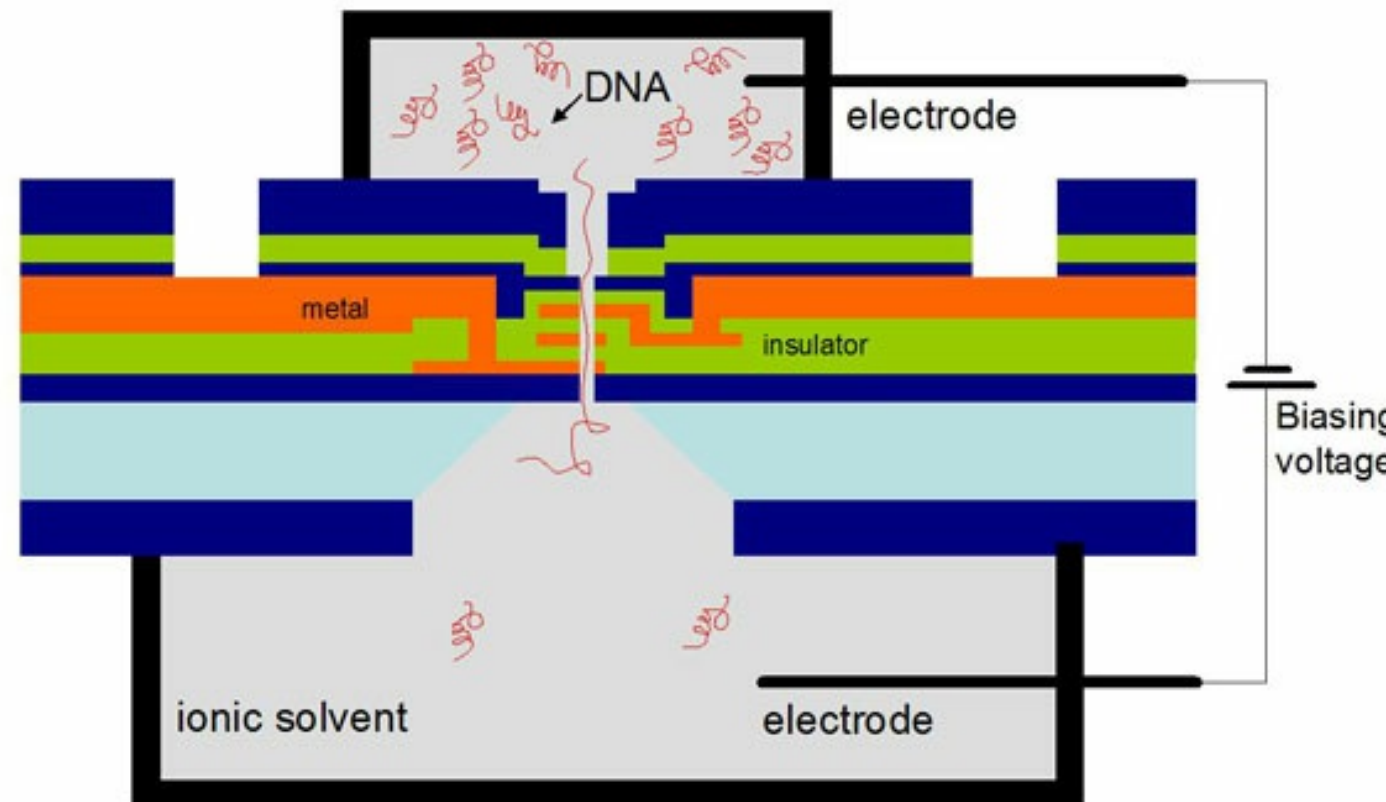


Crédits : [Schadt et al, Hum Mol Genet, 2010](#)

# Nanopores

## 4 méthodes

- Détection électrique directe des molécules d'ADN simple
- Séquençage médié par un transistor

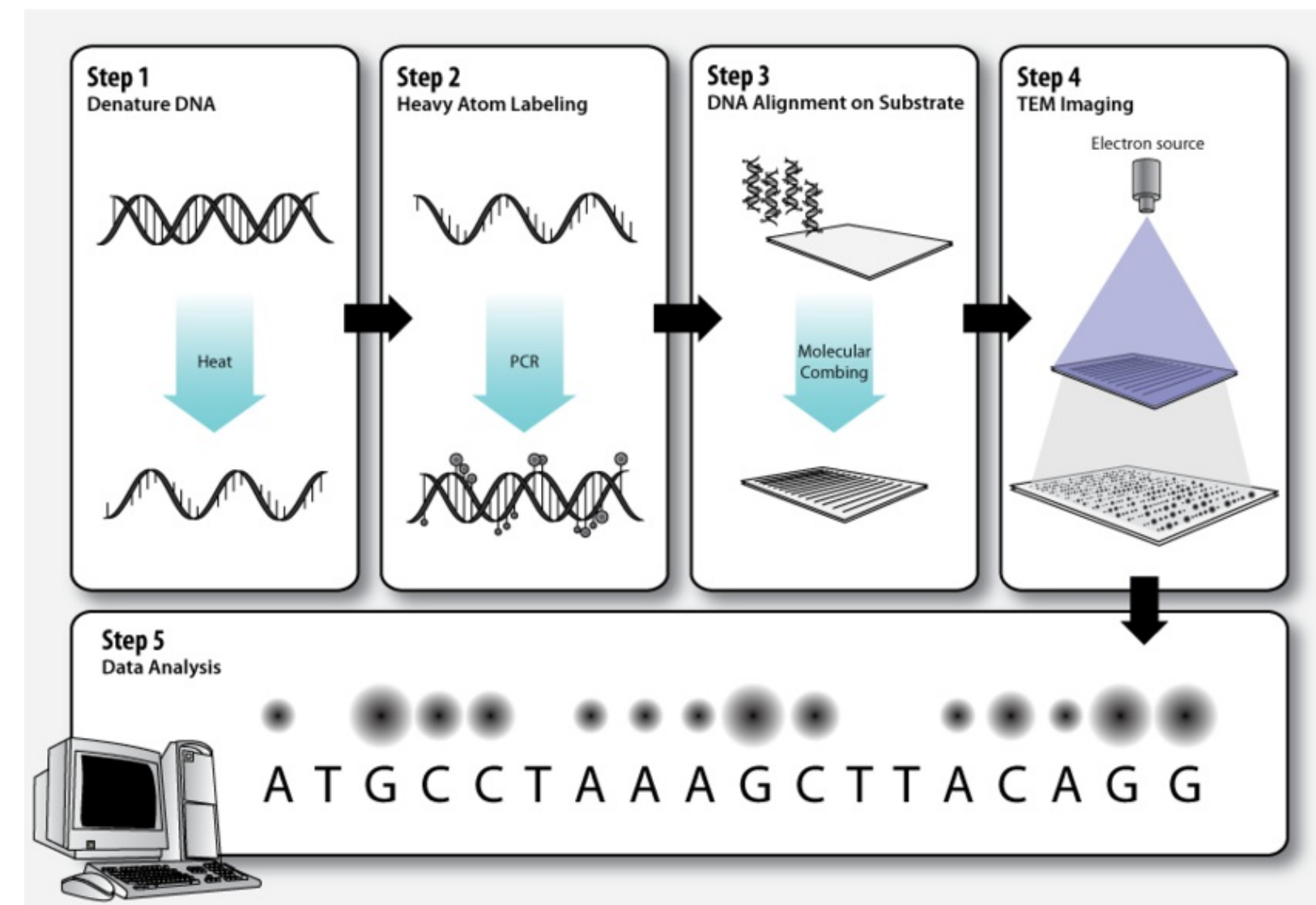


# Nanopores

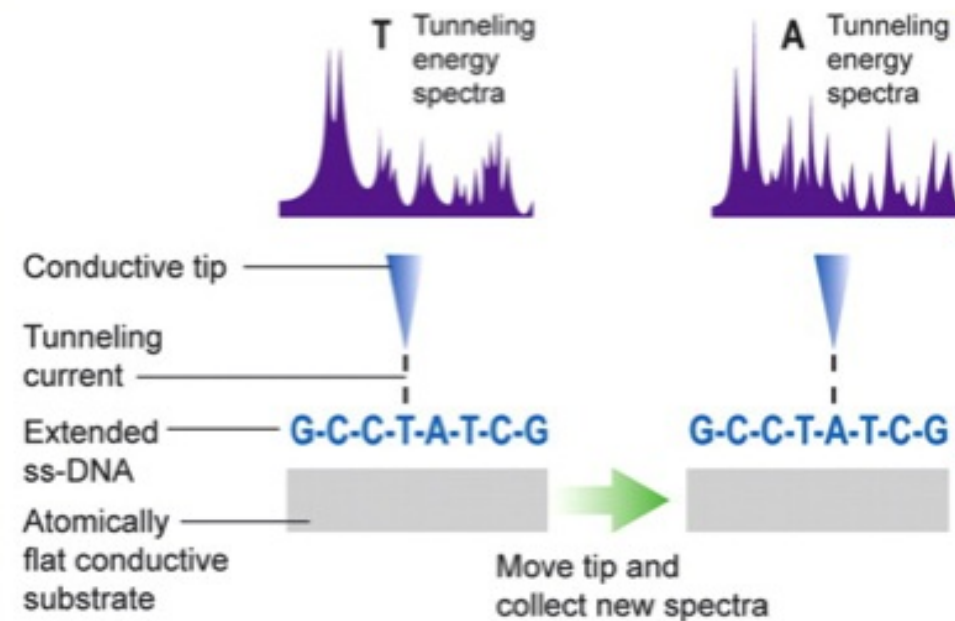
## 4 méthodes

- Détection électrique directe des molécules d'ADN simple
- Séquençage médié par un transistor
- Utilisation d'un nanopore biologique comme MspA  
(*Mycobacterium smegmatis* Porin A)
- Mesure optique

# Imagerie directe des molécules d'ADN individuelles par microscopie



# Imagerie directe des molécules d'ADN individuelles par microscopie



Crédits : *Schadt et al, Hum Mol Genet, 2010*

# Troisième génération

## Avantages

- Pas besoin de PCR (molécule simple)
- Haut débit
- Délai de production plus courts
- Reads plus longs
- Plus forte précision
- Besoins en ADN plus faibles
- Coûts plus faibles

# Comparaison des générations et des méthodes

# Comparaison des générations

	1e génération	2e génération	3e génération
Technologie fondamentale	Discrimination par taille de brin, fragment d'ADN labellisé, produit par SPS ou dégradation	"Wash-and-scan" SPS	SPS, par dégradation, par inspection directe de molécule d'ADN
Résolution	Moyenne selon le nombre de copie de l'ADN séquencé	Moyenne selon le fonction du nombre de copie de l'ADN séquencé	Elevé
Précision	Haute	Haute	Modérée
Taille des séquences	800/ 1000 pb	10/50 pb	1000+ pb

Crédits : *Schadt et al, Hum Mol Genet, 2010*

# Comparaison des générations

	1e génération	2e génération	3e génération
Volume des données	Bas	Haut	Modéré
Coûts	Elevé par base, bas par séquençage	Bas par base, élevé par séquençage	Bas/Modéré par base, bas par séquençage
Temps	~ heures	~ jours	~ heures
Préparation	Modérément complexe, PCR non requise	Complexe, PCR requise	Simple/Complexe suivant la technologie employée
Analyses	Facile	Complexe (quantité de données, taille des reads)	Complexe (quantité de données, types d'information)

Crédits : *Schadt et al, Hum Mol Genet, 2010*

# Choix de la plateforme

## A prendre en considération

- Application souhaitée
- Coût d'un run et de son traitement
- Longueur des reads
- Nombre de reads par run
- Taux d'erreur
- Disponibilité

# Longueur des reads

Length (bp)	Genome element
25-75	SNP, short frameshift mutation
100-400	Short functional signature
500-1,000	Whole domain, single domain genes
1,000-5,000	Short operons, multidomain genes
5,000-10,000	Longer operons, some cis-control elements
>100,000	Prophages, pathogenicity islands, various mobile insertion elements
>1,000,000	Whole prokaryotic chromosome organization

Crédits : [Wooley et al, Plos Comp Biol, 2010](#)

# Longueur des reads

- Reads longs
  - Facilité d'assemblage
  - Optimal pour des génomes jamais séquencés et la caractérisation du transcriptome
- Reads courts
  - Faibles coûts
  - Plus forte couverture
  - Re-séquençage pour applications basées sur la fréquence (comptage)

# Comparaison des plateformes

Instrument	Run time	Millions of Reads/run	Bases / read	Reagent Cost/run	Reagent Cost/Gb	Reagent Cost/Mread	bp/run	Gbp/run	cost/Gb
Applied Biosystems 3730 (capillary)	2 hrs,	0.000096	650	\$144	\$2307692,31	\$1500000,00	624	0	\$2307692,31
454 GS Jr, Titanium	10 hrs,	0.1	400	\$977	\$19540,00	\$9770,00	5.0E+07	0.05	\$19540,00
454 FLX Titanium	10 hrs,	1	400	\$6200	\$15500,00	\$6200,00	4.0E+08	0.4	\$15500,00
454 FLX+	20 hrs,	1	650	\$6200	\$9538,46	\$6200,00	6.5E+08	0.65	\$9538,46
Illumina GA IIx - v5 PE	14 days	640	288	\$17978	\$97,54	\$28,09	1.8E+11	184.32	\$97,54
Illumina MiSeq v2 Nano	28 hrs,	1	500	\$639	\$1278,00	\$639,00	5.0E+08	0.5	\$1278,00
Illumina MiSeq v2 Micro	19 hrs,	4	300	\$798	\$665,00	\$199,50	1.2E+09	1.2	\$665,00
Illumina MiSeq v2	39 hrs,	15	500	\$1066	\$142,13	\$71,07	7.5E+09	7.5	\$142,13
Illumina MiSeq v3	55 hrs,	22	600	\$1442	\$109,24	\$65,55	1.3E+10	13.2	\$109,24
Illumina NextSeq 500	30 hrs,	400	300	\$4000	\$33,33	\$10,00	1.2E+11	120	\$33,33
Illumina HiSeq 2500 - rapid run	40 hrs,	300	300	\$4126	\$45,84	\$13,75	9.0E+10	90	\$45,84
Illumina HiSeq 2500 - high output v3	11 days	1500	200	\$13580	\$45,27	\$9,05	3.0E+11	300	\$45,27
Illumina HiSeq 2500 - high output v4	6 days	2000	250	\$14950	\$29,90	\$7,48	5.0E+11	500	\$29,90
Illumina HiSeq X (2 flow cells)	3 days	6000	300	\$12750	\$7,08	\$2,13	1.8E+12	1800	\$7,08
Ion Torrent – PGM 314 chip	3,7 hrs,	0.475	400	\$474	\$2494,74	\$997,89	1.9E+08	0.19	\$2494,74
Ion Torrent – PGM 316 chip	4,9 hrs,	2.5	400	\$674	\$674,00	\$269,60	1.0E+09	1	\$674,00
Ion Torrent – PGM 318 chip	7,3 hrs,	4.75	400	\$874	\$460,00	\$184,00	1.9E+09	1.9	\$460,00
Ion Torrent - Proton I	4 hrs,	70	175	\$1000	\$81,63	\$14,29	1.2E+10	12.25	\$81,63
Ion Torrent - Proton II (forecast)	5 hrs,	280	175	\$1000	\$20,41	\$3,57	4.9E+10	49	\$20,41
Ion Torrent - Proton III (forecast)	6 hrs,	500	175	\$1000	\$11,43	\$2,00	8.8E+10	87.5	\$11,43
Life Technologies SOLiD – 5500xl	8 days	1410	110	\$10503	\$67,72	\$7,45	1.6E+11	155.1	\$67,72
Pacific Biosciences RS II	2 hrs,	0.03	3000	\$100	\$1111,11	\$3333,33	9.0E+07	0.09	\$1111,11
Oxford Nanopore MinION (forecast)	≤6 hrs,	0.1	9000	\$900	\$1000,00	\$9000,00	9.0E+08	0.9	\$1000,00
Oxford Nanopore GridION 2000 (forecast)	varies	4	10000	\$1500	\$37,50	\$375,00	4.0E+10	40	\$37,50
Oxford Nanopore GridION 8000 (forecast)	varies	10	10000	\$1000	\$10,00	\$100,00	1.0E+11	100	\$10,00

Crédits : The Molecular Ecologist

# Multiplexage

Moyen de diminuer les coûts de séquençage

- Ajout d'un tag d'identification pour chaque échantillon
- Mélange des échantillons
- Préparation et séquençage en parallèle
- Tri des séquences en fonction des échantillons  
(information de source contenue dans la séquence)

# Taux d'erreur

Instrument	Erreurs principales	Taux d'erreur (%)
454	Indels	1
Illumina	Substitutions	0.1
Ion Torrent	Indels	1
SOLiD	Biais AT	<= 0.1
Oxford Nanopore	Délétions	4
PacBio RS	Indels	<= 1

Crédits : The Molecular Ecologist

# Comparaison des plateformes

Instrument	Avantages	Inconvénient
454 FLX+	Reads contigus les plus longs des 2nd génération	Coûts élevés par Mb, problèmes de reagents
454 GS Jr	Plus faibles coûts par run que 454 FLX+	Coûts élevés par Mb, Peu de reads, Reads plus courts que FLX
Illumina HiSeq	Faibles coûts par Mb	Coûts élevés d'instruments et de runs; Besoin de personnels qualifiés
Illumina MiSeq	Coûts modérés d'instruments et runs, Faibles coûts par Mb pour une petite plateforme, Durée des runs les rapides et les reads les plus longs des plateformes Illumina	Relativement peu de reads et coûts plus élevés par Mb que HiSeq
Illumina NextSeq	Facilité d'utilisation, coûts modérés d'instruments et de run	Nouvelle chimie et nouveau design d'instruments

Crédits : [The Molecular Ecologist](#)

# Comparaison des plateformes

Instrument	Avantages	Inconvénient
Ion Torrent	Faibles coûts d'instruments, machine simple	Plus forts taux d'erreurs qu'Illumina, plus de temps de manipulation, moins de reads à coûts plus élevés que MiSeq
PacBio	Séquençage en temps réel simple molécule, Reads plus longs; Capacité de détection des modifications de bases	Forts taux d'erreur, Faible nombre de reads par run, Coûts élevés par Mb
SOLiD	Forte précision, Capacité de sauver les cycles de séquençage ayant échoué	Longévité de la plateforme, Reads relativement courts, Plus de gaps dans l'assemblage que pour les données Illumina
Oxford Nanopore	Instrument portable et low-cost, Reads extrêmement longs	Très récent

Crédits : [The Molecular Ecologist](#)

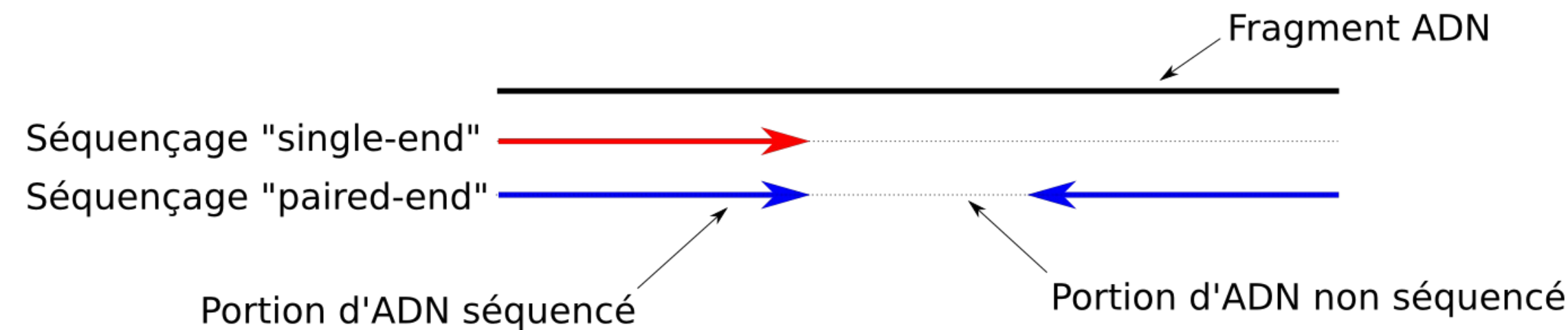
# Traitement des données issues du séquençage

# Traitement des données issues du séquençage

- Gestion des données
- Prétraitement des données
- Contrôle de la qualité des séquences
- Assemblage
- Analyses des séquences

# Gestion des données

# Types de données



# Types de données

- Séquençage single-end
  - 1 fichier de sortie
- Séquençage paired-end
  - 2 fichiers de sortie
  - Concaténation des fichiers en faisant attention au sens de lecture

# Formats des données brutes

- FastA: Format répandu de stockage des séquences biologiques
- FastQ (*Illumina*)
- SFF (*Roche 454*)
- SRF (*Helicos*)
- HDF5 (*PacBio, Applied Biosystems, Oxford Nanopore*)

# FastA

```
> Identifiant (Commentaire)
XXXXXXXXXXXXXXXXXXXXXXXXXXXXXXXXXXXXXXXXXXXX
XXXXXXXXXXXXXXXXXXXXXXXXXXXXXXXXXXXXXXXXXXXX
XXXXXXXXXXXXXXXXXXXXXXXXXXXXXXXXXXXXXXXXXXXX
> Identifiant2 (Commentaire)
XXXXXXXXXXXXXXXXXXXXXXXXXXXXXXXXXXXXXXXXXXXX
XXXXXXXXXXXXXXXXXXXXXXXXXXXXXXXXXXXXXXXXXXXX
XXXXXXXXXXXXXXXXXXXXXXXXXXXXXXXXXXXXXXXXXXXX
XXXXXXXXXXXXXXXXXXXXXXXXXXXXXXXXXXXXXXXXXXXX
XXXXXXXXXXXXXXXXXXXXXXXXXXXXXXXXXXXXXXXXXXXX
XX
```

# FastA

Pas de standard dans les descriptions malgré des tentatives

Banque de données	Description
GenBank	gi numero_gi gb numero_accession locus
EMBL	gi numero_gi emb numero_accession locus
DDDJ	gi numero_gi dbj numero_accession locus
NBRF PIR	pir  entree
Protein Research Foundation	prf nom
Swiss-Prot	sp numero_accession nom
Brookhaven PDB	pdb entree chaine
Brevets	pat brevet numero
GenInfo Backbone Id	bbs numero
General database identifier	gnl base_de_donnees identifiant
NCBI Reference Sequence	ref numero_accession locus
Local Sequence identifier	lci identifiant

# Code des acides nucléoiques

Code	Signification	Mémorisation
A	A	Adénosine
C	C	Cytosine
G	G	Guanine
T	T	Thymine
U	U	Uracile
R	A ou G	puRine
Y	C, T ou U	pYrimidine
K	G, T ou U	Ketone (cétone)
M	A ou C	aMine
S	C ou G	Strong (interaction forte)
W	A, T ou U	Weak (interaction faible)

# Code des acides nucléoiques

<b>Code</b>	<b>Signification</b>	<b>Mémorisation</b>
B	différent de A	B vient après A
D	différent de C	D vient après C
H	différent de G	H vient après G
V	différent de T ou U	V vient après U
N	A, C, G, T ou U	N'importe
X	acide nucléique masqué	
-	gap	

# Code des acides aminés

## Standard IUB/IUPAC

Code	Signification		Code	Signification
A	Alanine		O	Pyrrolisine
B	Acide aspartique		P	Proline
C	Cystéine		Q	Glutamine
D	Acide aspartique		R	Arginine
E	Acide glutamique		S	Sérine
F	Phénylalanine		T	Thréonine
G	Glycine		U	Sélénocystéine
H	Histidine		V	Valine
I	Isoleucine		W	Tryptophane
K	Lysine		Y	Tyrosine
L	Leucine		Z	Acide glutamique
M	Méthionine		X	N'importe
N	Asparagine		*	Codon stop

# Différents fichiers en FastA

Extension	Signification	Commentaire
.fasta, .fas, .fa	FastA générique	Tout fichier fasta
.fna	FastA nucleic acid	Fichier fasta contenant une séquence d'acides nucléiques
.ffn	FastA functional nucleotide	Fichier fasta contenant une séquence nucléique d'une région codante d'un génome
.faa	FastA amino acid	Fichier fasta contenant une séquence d'acides aminés
.frn	FastA non-coding RNA	Fichier fasta contenant une séquence d'ARN non-codant d'un génome

# FastQ

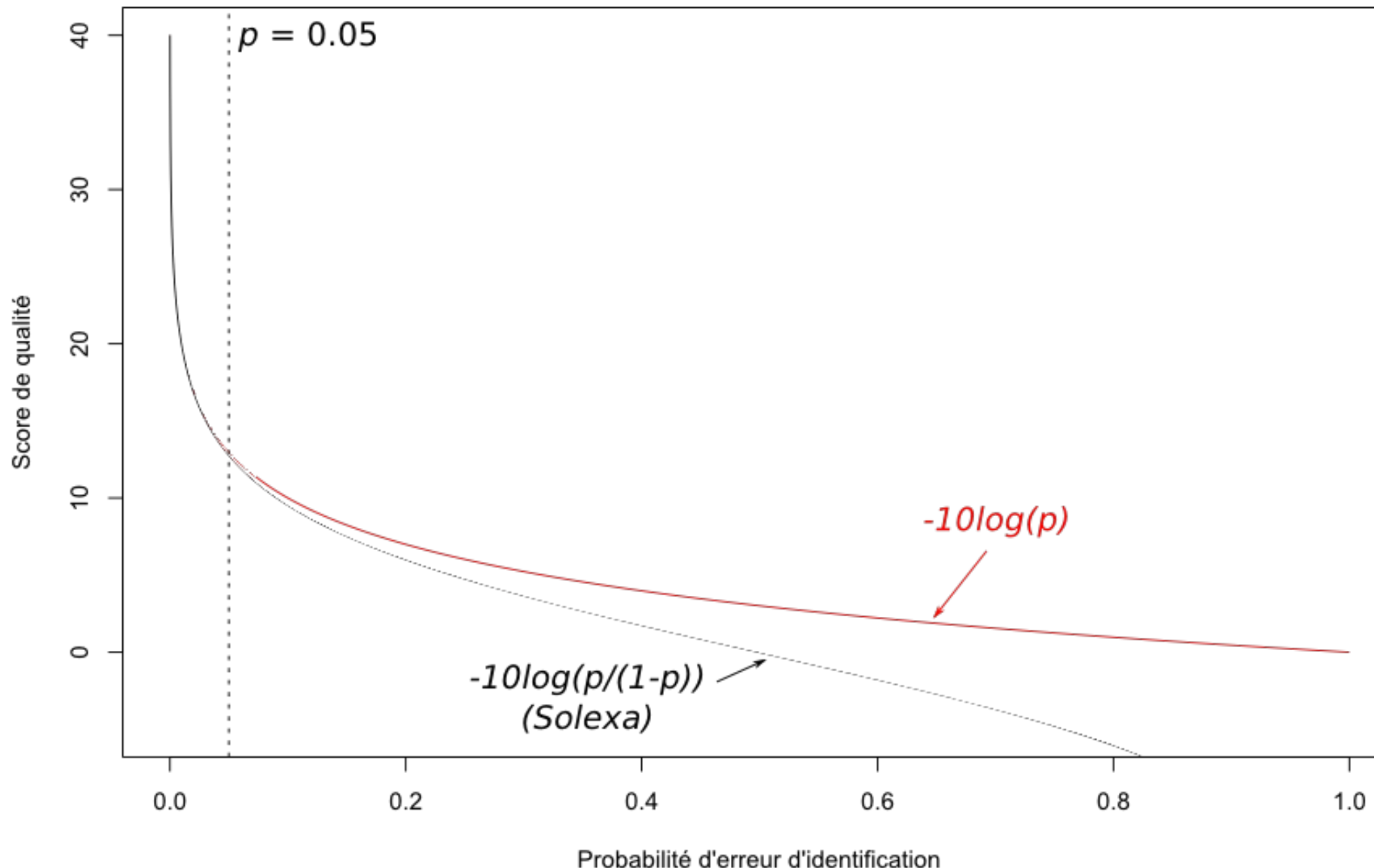
```
> Identifiant (Commentaire)
XXXXXXXXXXXXXXXXXXXXXXXXXXXXXXXXXXXXXXXXXXXX
+
QQQQQQQQQQQQQQQQQQQQQQQQQQQQQQQQQQQQQQQQQQ
> Identifiant2 (Commentaire)
XXXXXXXXXXXXXXXXXXXXXXXXXXXXXXXXXXXXXXXXXXXX
+
QQQQQQQQQQQQQQQQQQQQQQQQQQQQQQQQQQQQQQQQQQ
```

# Score de qualité

Mesure de qualité de l'identification des bases par le séquençage ADN

Score assigné à chaque base dans les sorties des séquenceurs

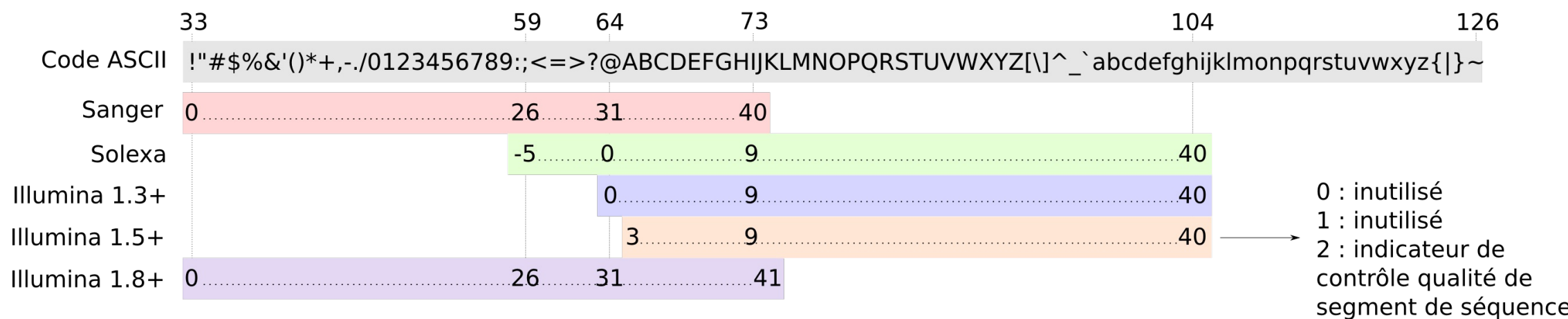
# Score de qualité



# Score de qualité

Phred Quality Score	Probability of incorrect base call	Base call accuracy
10	1 in 10	90%
20	1 in 100	99%
30	1 in 1000	99.9%
40	1 in 10,000	99.99%
50	1 in 100,000	99.999%
60	1 in 1,000,000	99.9999%

# Codage du score de qualité



# Standard Flowgram Format (SFF)

- Format de sortie de 454 et Ion Torrent
- Fichier binaire
  - Section en-tête commune à tous les reads
  - Pour chaque read
    - Section en-tête du read
    - Section des données du read

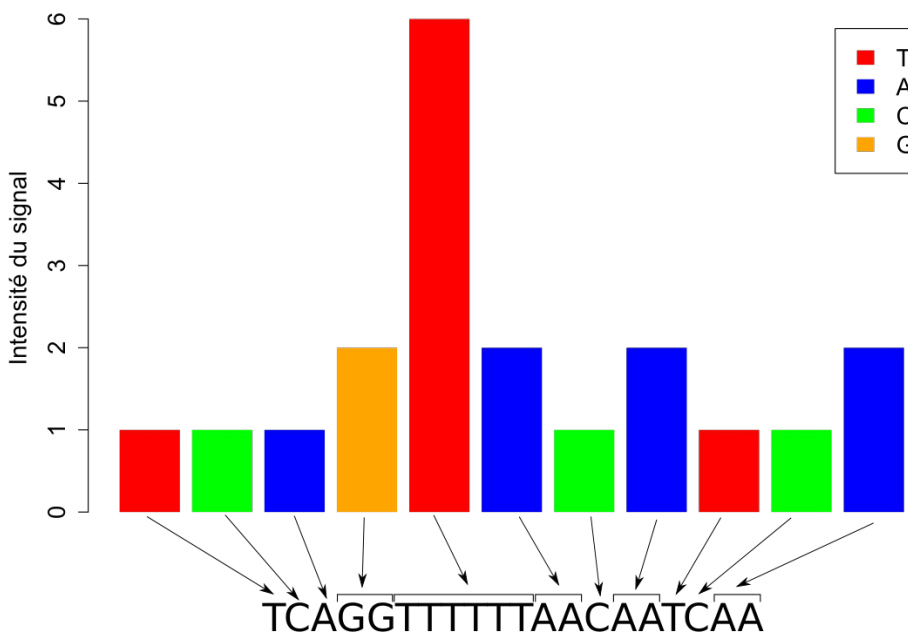
# En-tête globale d'un fichier SFF

<i>magic_number</i>	uint32_t	
<i>version</i>	char[4]	
<i>index_offset</i>	uint64_t	Offset et longueur d'un index optionel des reads
<i>index_length</i>	uint32_t	
<i>number_of_reads</i>	uint32_t	Nombre de reads contenus dans le fichier
<i>key_length</i>	uint16_t	Longueur et bases nucléotides de la séquence clé
<i>key_sequence</i>	char[key_length]	utilisée pour ces reads
<i>header_length</i>	uint16_t	Nombre d'octets requis pour l'ensemble des champs de l'en-tête
<i>number_of_flows_per_read</i>	uint16_t	Nombre de flow pour chaque read
<i>flowgram_format_code</i>	uint8_t	Format utilisé pour encoder chaque valeur du flowgram de chaque read
<i>flow_chars</i>	char[number_of_flows_per_read]	Tableau des bases nucléotides correspondant aux nucléotides utilisés pour chaque flow de chaque read
<i>eight_byte_padding</i>	uint8_t[*]	
<i>index_magic_number</i>	uint32_t	S'il y a un index des reads
<i>Index_version</i>	char[4]	

# En-tête pour un read dans un fichier SFF

<i>read_header_length</i>	<code>uint16_t</code> ↗	<i>Longueur de l'en-tête du read en octet</i>
<i>name_length</i>	<code>uint16_t</code> ↗	<i>Longueur et nom de l'acquisition ou nom du read</i>
<i>name</i>	<code>char[name_length]</code> ↗	
<i>number_of_bases</i>	<code>uint32_t</code> ↗	<i>Nombre de bases dans ce read</i>
<i>clip_qual_left</i>	<code>uint16_t</code> ↗	<i>Position et qualité de la première base après le point de coupure au début du read</i>
<i>clip_adapter_left</i>	<code>uint16_t</code> ↗	
<i>clip_qual_right</i>	<code>uint16_t</code> ↗	<i>Position et qualité de la dernière base avant le point de coupure à la fin du read</i>
<i>clip_adapter_right</i>	<code>uint16_t</code> ↗	
<i>eight_byte_padding</i>	<code>uint8_t[*]</code>	

# Données d'un read dans un fichier SFF

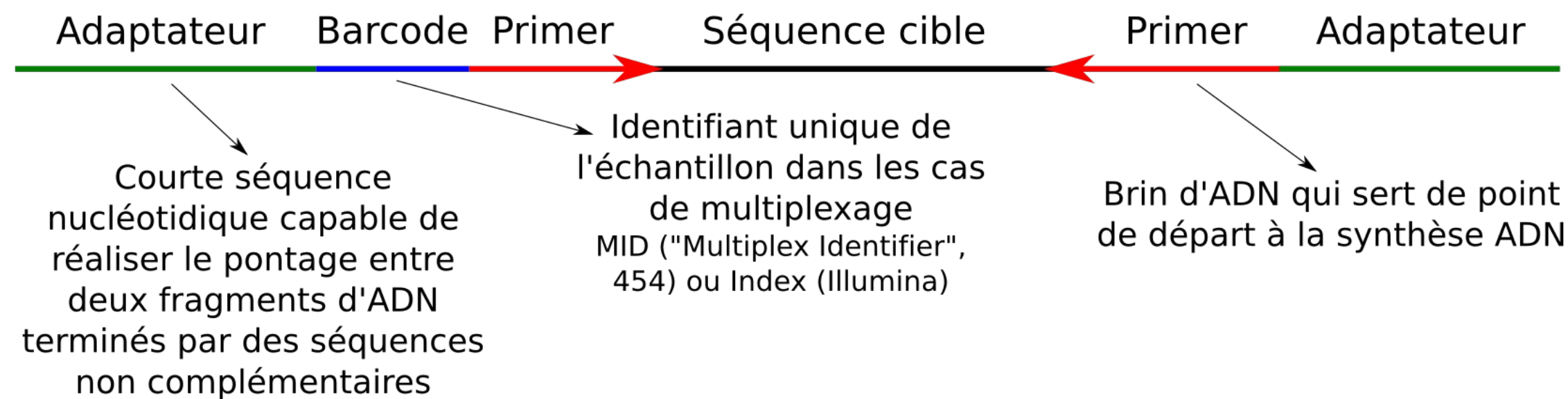


*flowgram\_values*  
*flow\_index\_per\_base*  
*bases*  
*quality\_scores*  
*eight\_byte\_padding*

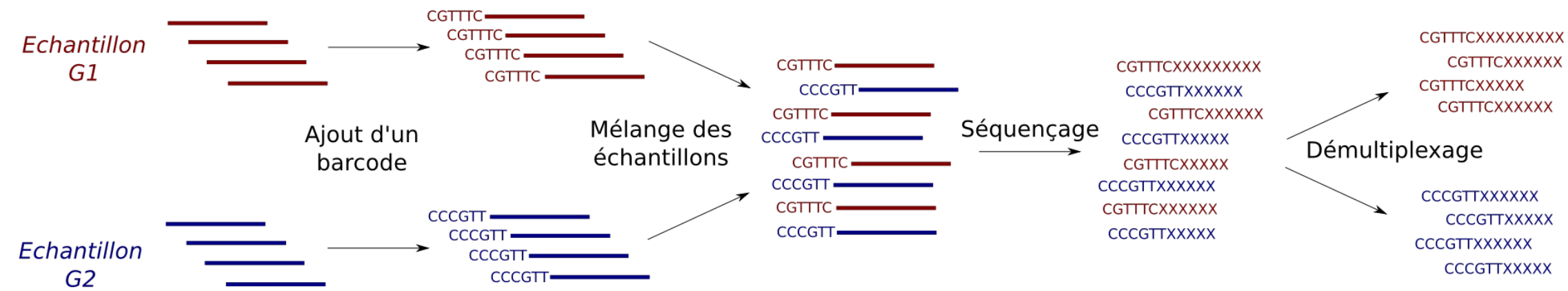
`uint* t[number_of_flows] ←` Estimation de l'étirement de l'homopolymère pour chaque flow  
`uint8_t[number_of_bases] ←` Position de flow de chaque base dans la séquence  
`char[number_of_bases] ←` Séquence de nucléotides  
`uint8_t[number_of_bases] ←` Score de qualité pour chaque base (même calcul que pour les données fastq)  
`uint8_t[*]`

# Prétraitement des données

# Primers, adaptateurs, barcodes



# Multiplexage / Démultiplexage



# Démultiplexage

## Utilisation de fichier de "mapping"

Exemple :

Sample ID	Barcode	Primer	Description
G1	CGTTTC	ACGGRAGGCAGGCAG	Crohn DNA
G2	CCCGTT	ACGGRAGGCAGGCAG	Healthy DNA
G3	GGTCAC	ACGGRAGGCAGGCAG	Crohn RNA
G4	AGTGCT	ACGGRAGGCAGGCAG	Healthy RNA

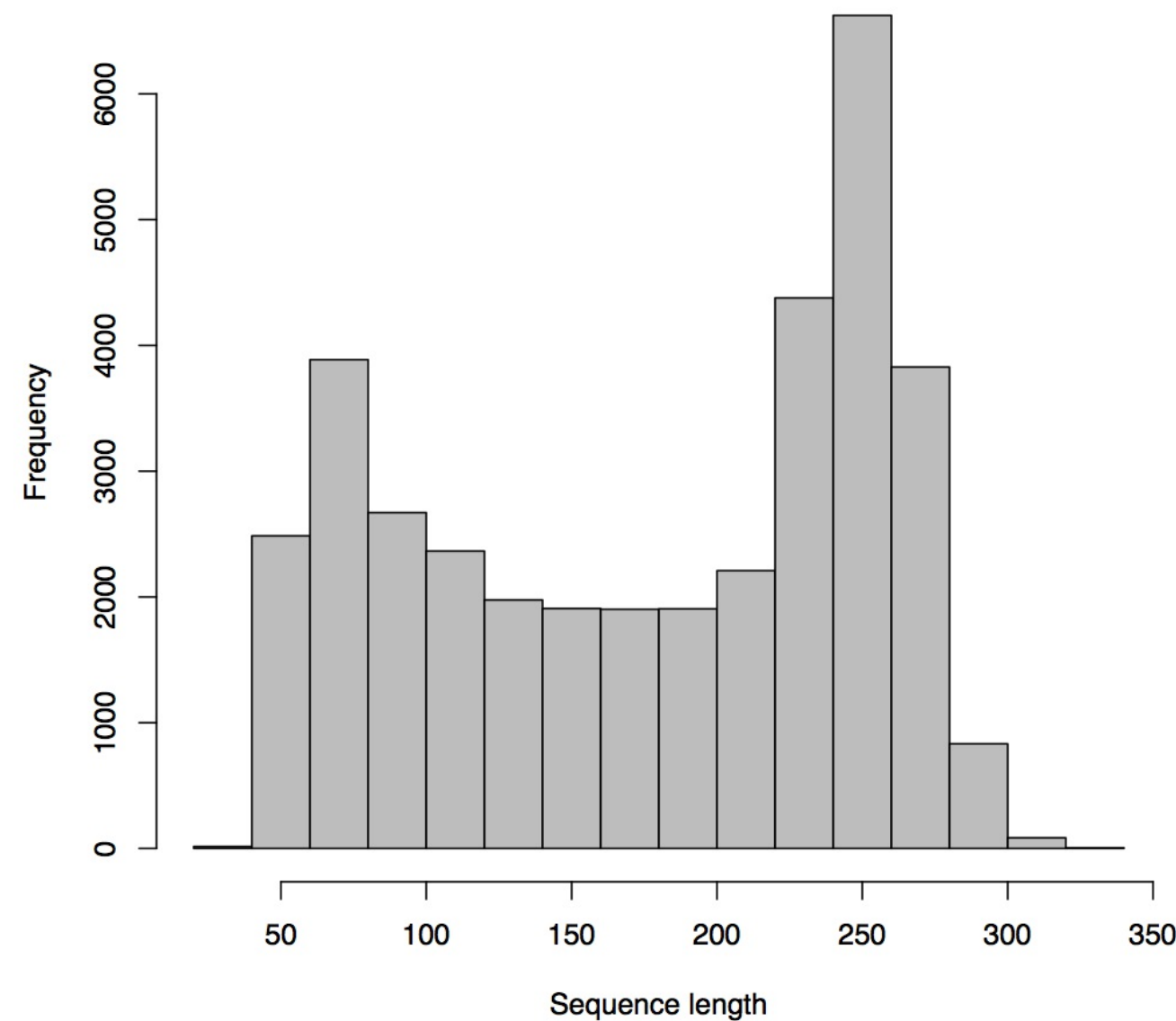
# Contrôle de la qualité des séquences

# Contrôle de la qualité des séquences

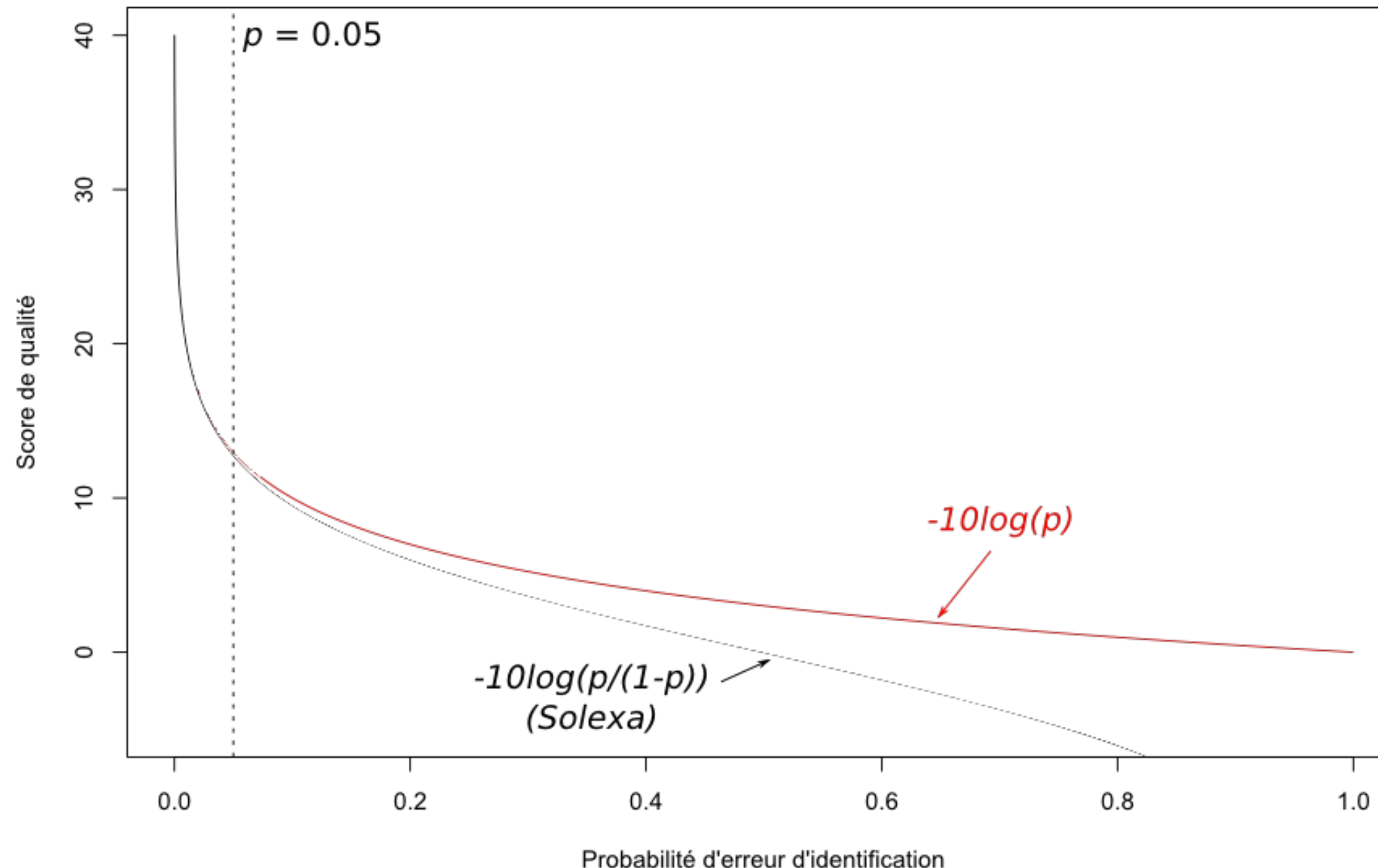
Plusieurs paramètres à vérifier

- Longueur des séquences
- Score de qualité des bases
- Contenu en bases
- Duplications de séquence
- Complexité des séquences
- Contamination

# Longueur des séquences



# Score de qualité des bases

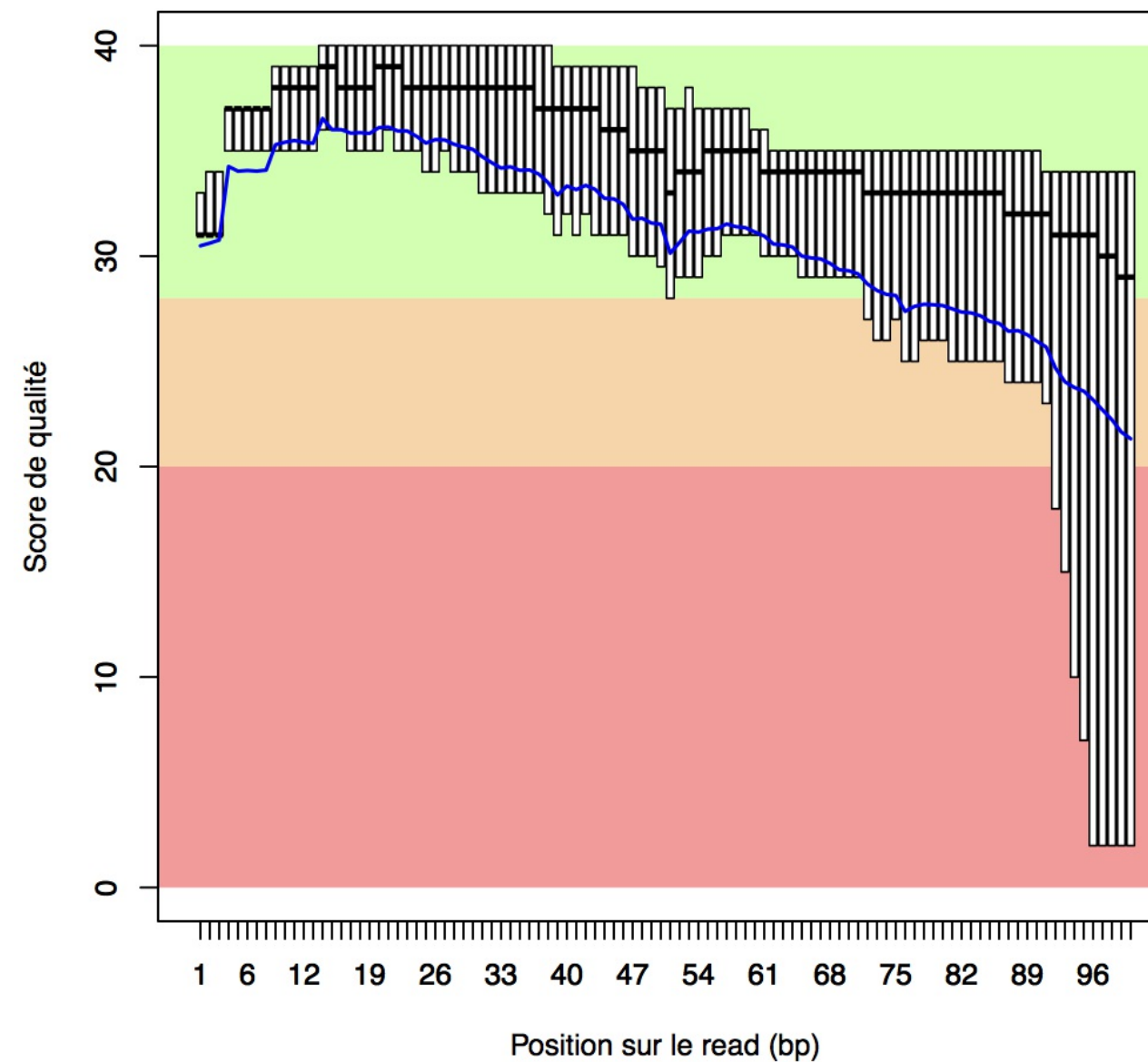


# Score de qualité des bases

2 niveaux à vérifier

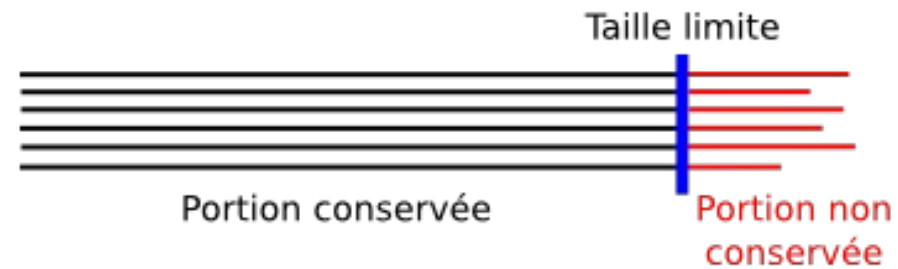
- Score de qualité de la séquence entière
  - Eliminer les séquences avec score moyen < 25
  - [Huse et al, Genome Biology, 2007](#)
- Score de qualité par base

# Score de qualité par base



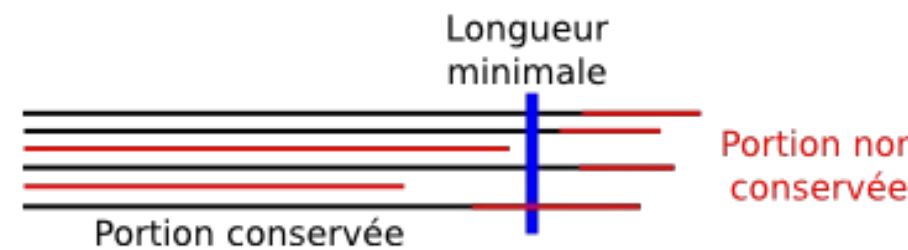
# Coupure des séquences basées sur le score de qualité par base

## Coupure de longueur fixe

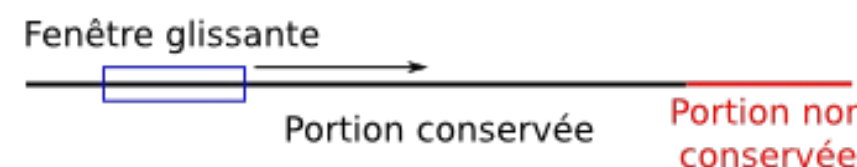


# Coupure des séquences basées sur le score de qualité par base

## Coupure de longueur variable



## Utilisation d'une fenêtre glissante



# Exemples de contrôle de la qualité

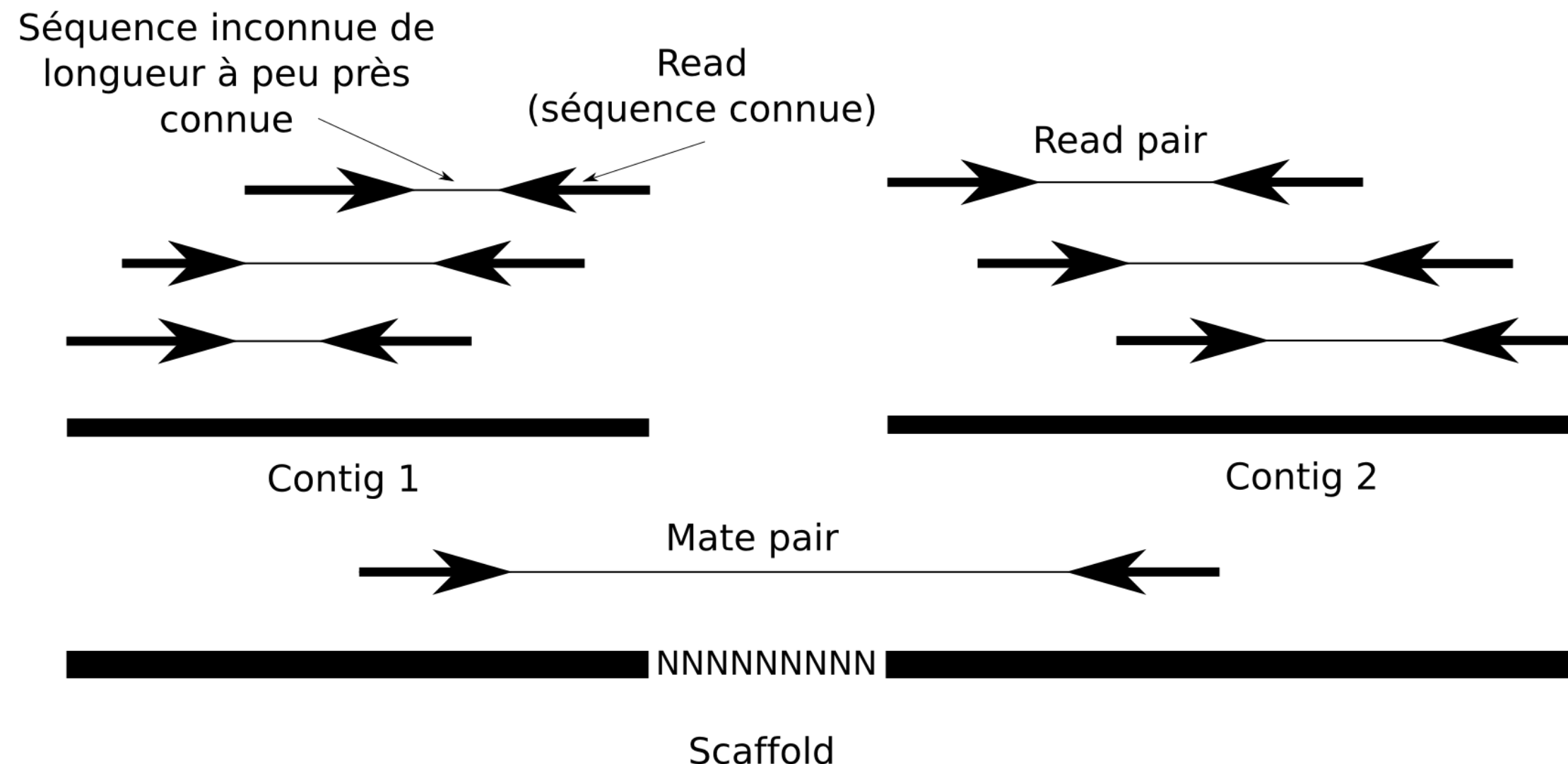
- Jeu de données utilisé en TP
- Jeu de données de mauvaise qualité

# Assemblage

# Assemblage

Alignment et fusion de reads en séquences ADN plus longues

# Assemblage



# Assemblage

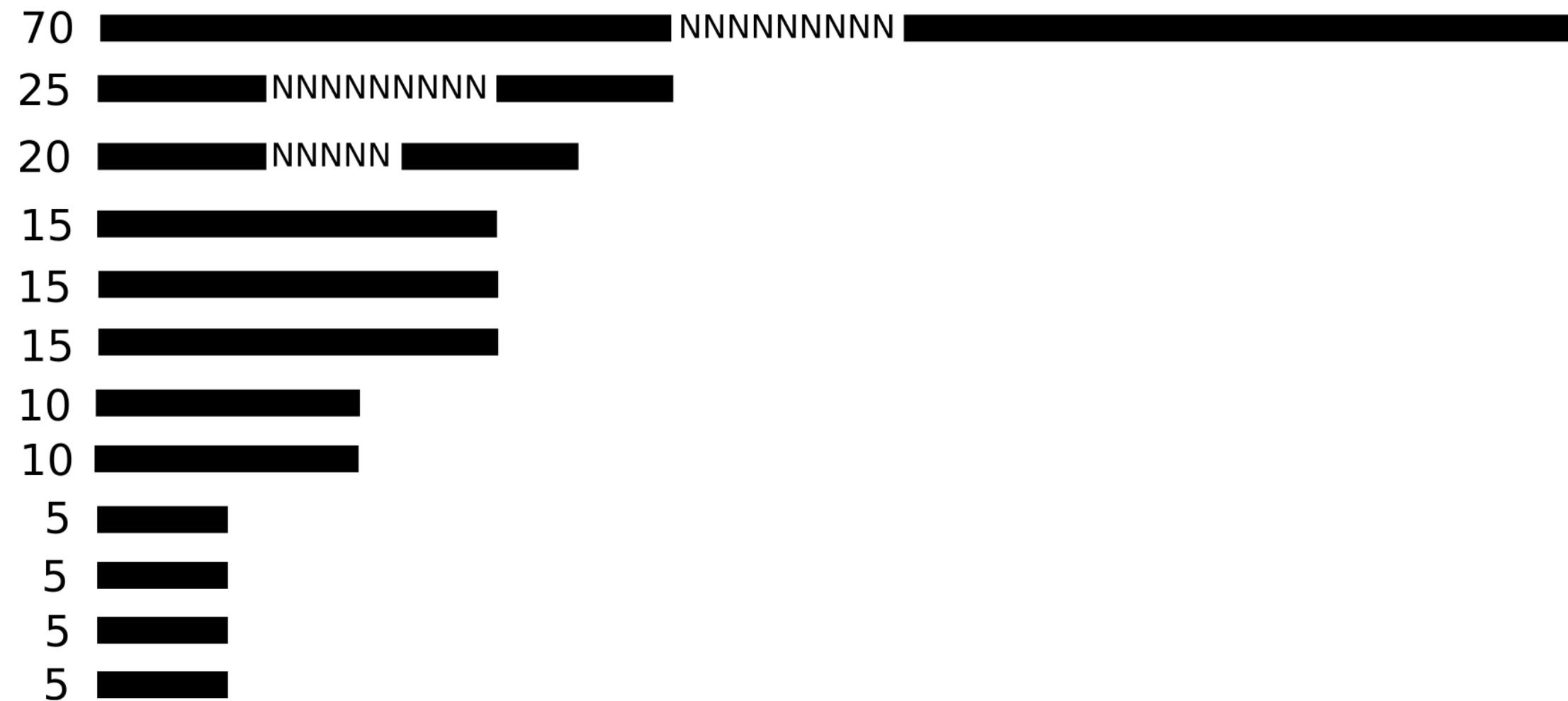
- **Contig** : Séquence génomique continue et ordonnée générée par l'assemblage de reads qui se chevauchent
- **Scaffold** : Contigs chevauchant séparés par des gaps de longueur connue

# Statistiques de séquençage

- **Profondeur ou couverture** : Nombre moyen de fois qu'un nucléotide particulier est représenté dans une collection de reads aléatoire
- **Profondeur de couverture** : Nombre de reads  $\times$  Longueur des reads / Taille de l'assemblage

# Métriques d'assemblage

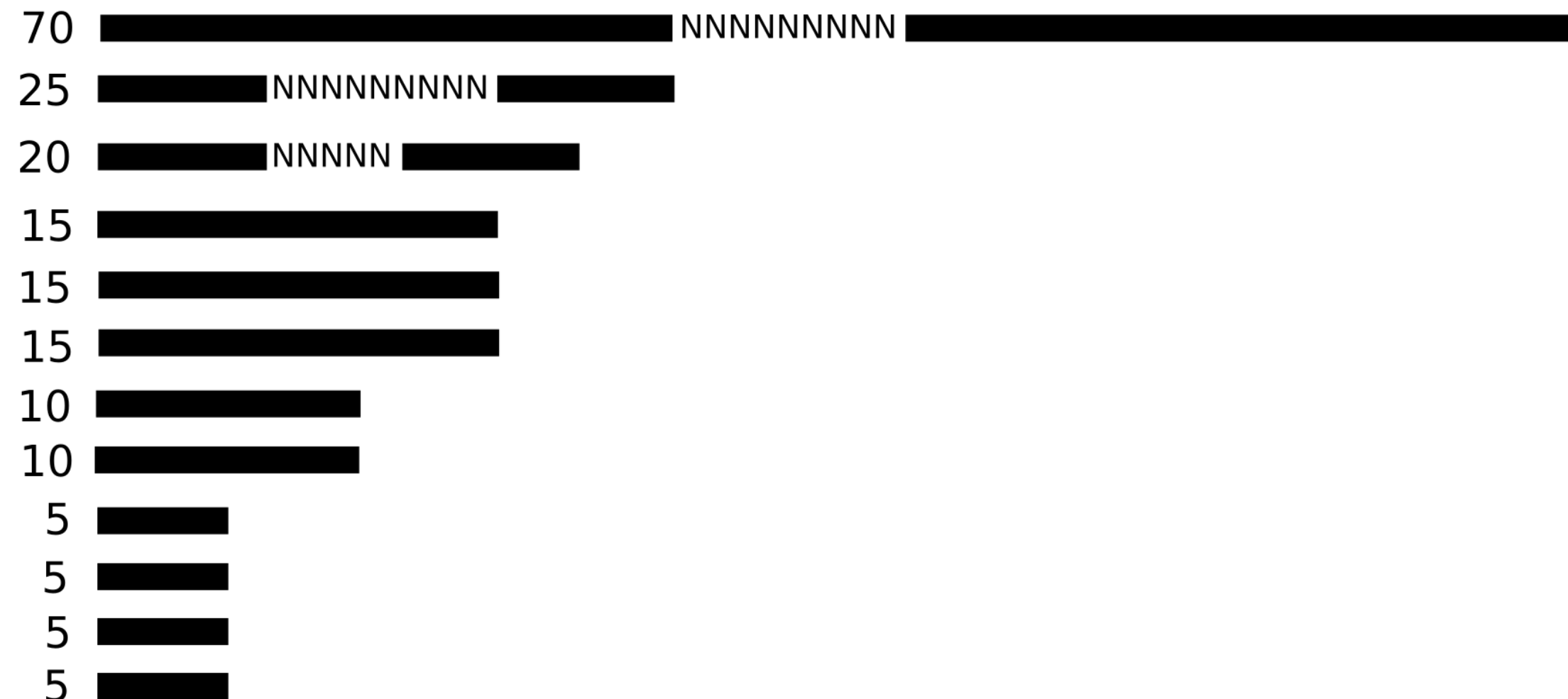
## Taille de l'assemblage



200 Mpb

# Métriques d'assemblage

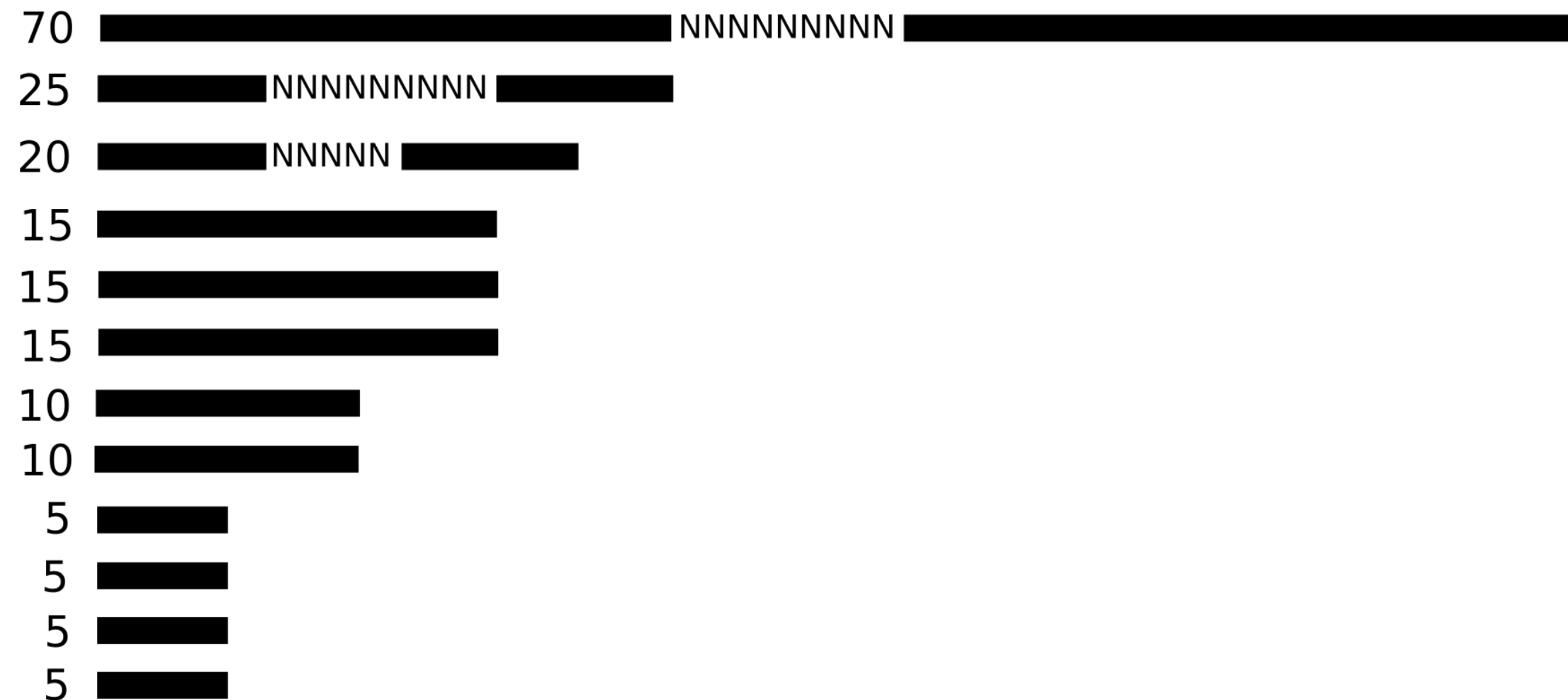
## Nombre de contigs/scaffolds



12

# Métriques d'assemblage

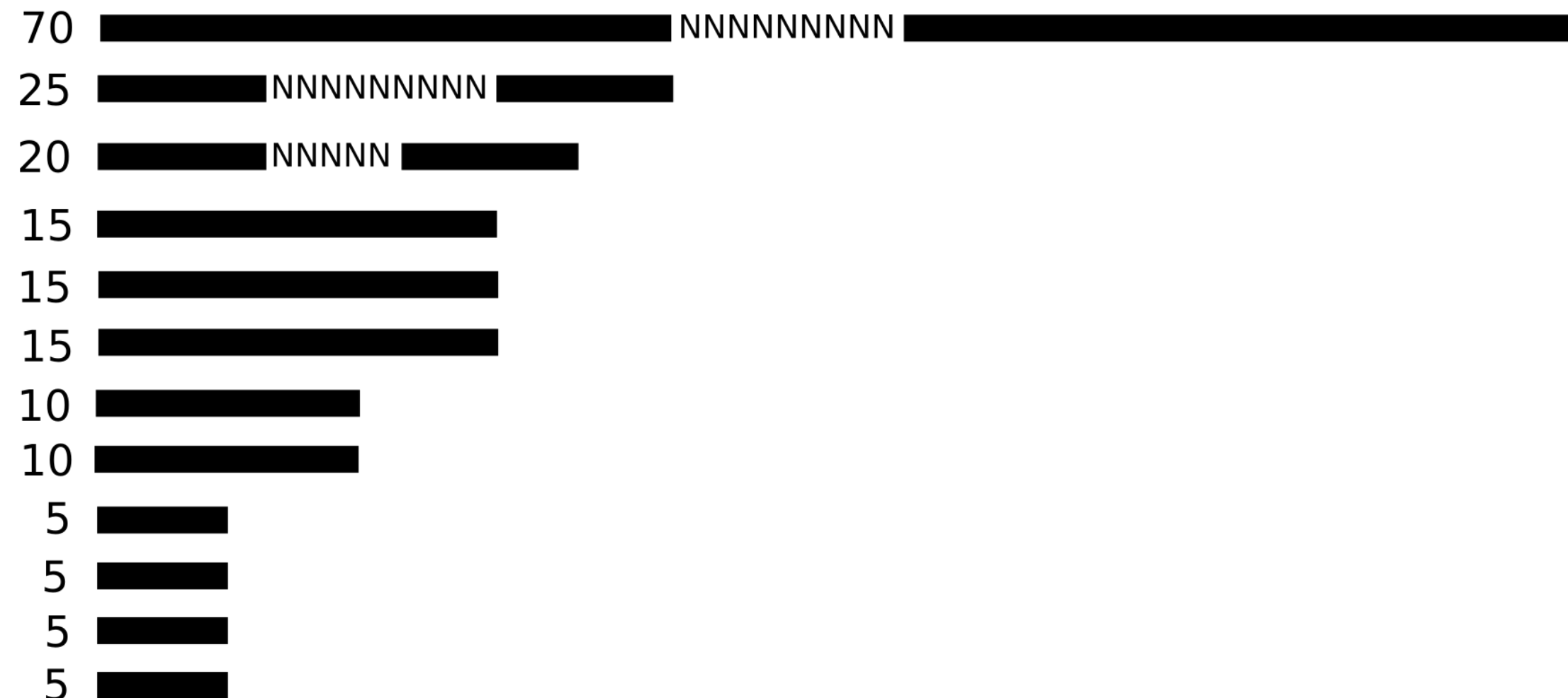
## Taille moyenne des contigs/scaffolds



16.67

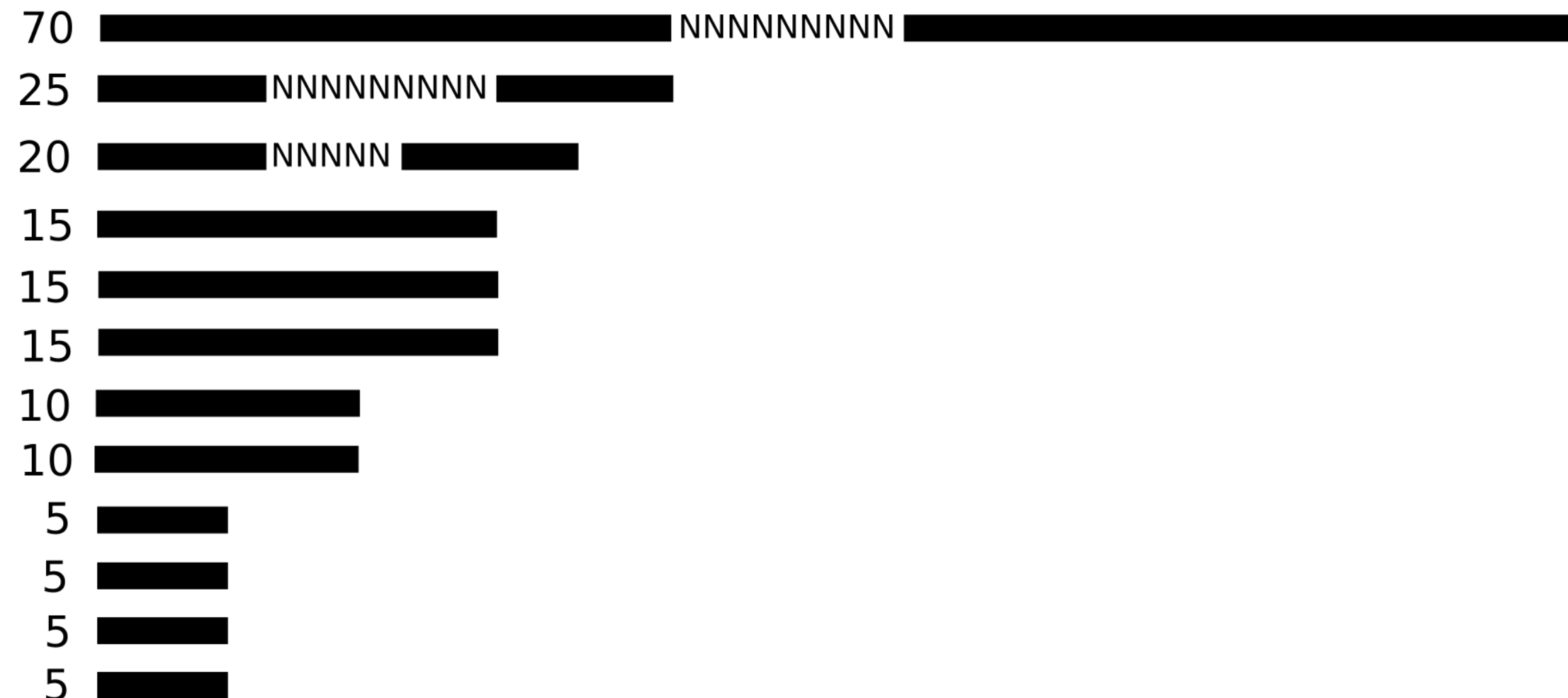
# Métriques d'assemblage

Nombre de N



# Métriques d'assemblage

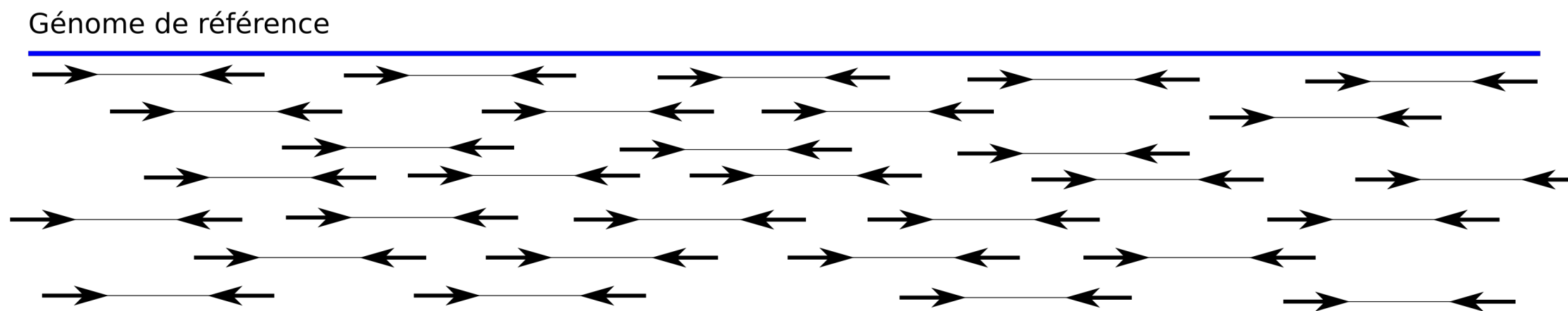
N50



20

# Utilisation de l'assemblage

## Alignement sur un génome de référence



- Identification de variants
- Reséquençage de génomes

# Utilisation de l'assemblage

## Assemblage *de novo*

Construction des séquences ADN d'un organisme sans génome de référence

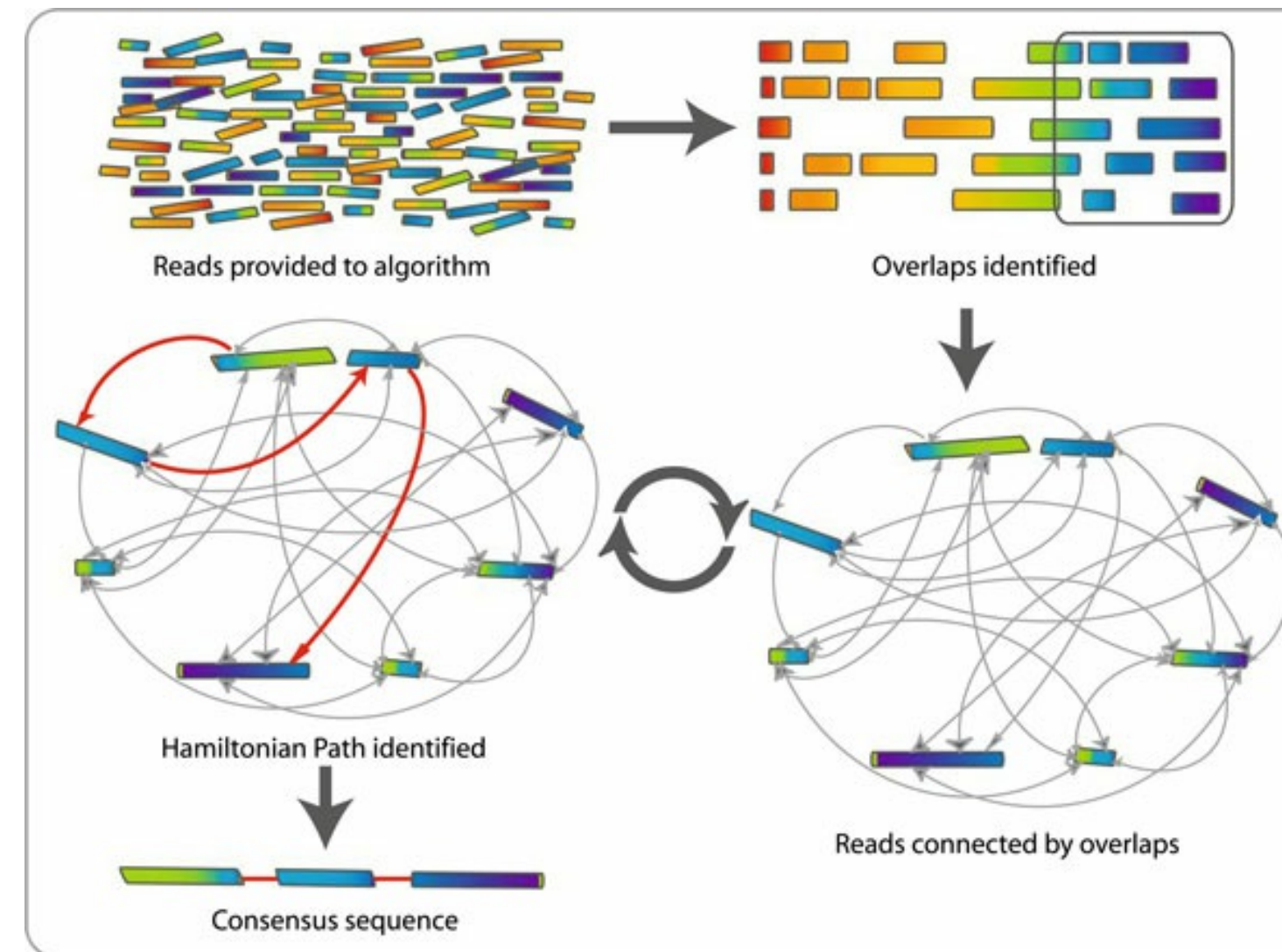
- Idéal
  - Longs reads sans erreurs
  - Problème de simple déduction
- Réalité
  - Reads courts et sujets aux erreurs
  - Problème d'inférence compliqué

# Outils d'assemblage

> 75 outils

# 2 paradigmes algorithmiques principaux

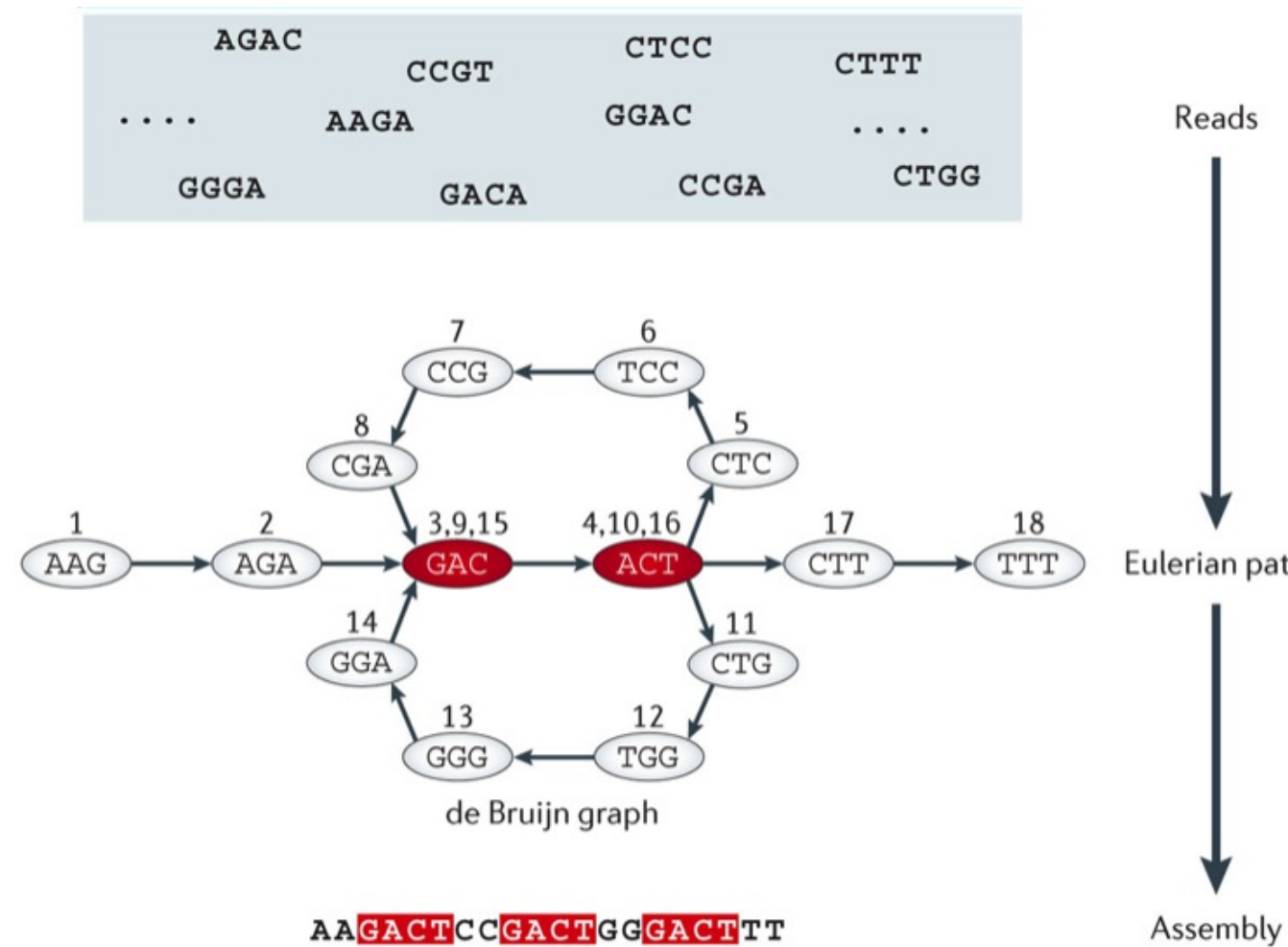
## Overlap - Layout - Consensus (OLC)



Crédits : *Commins et al, Biol Proc Online, 2009*

# 2 paradigmes algorithmiques principaux

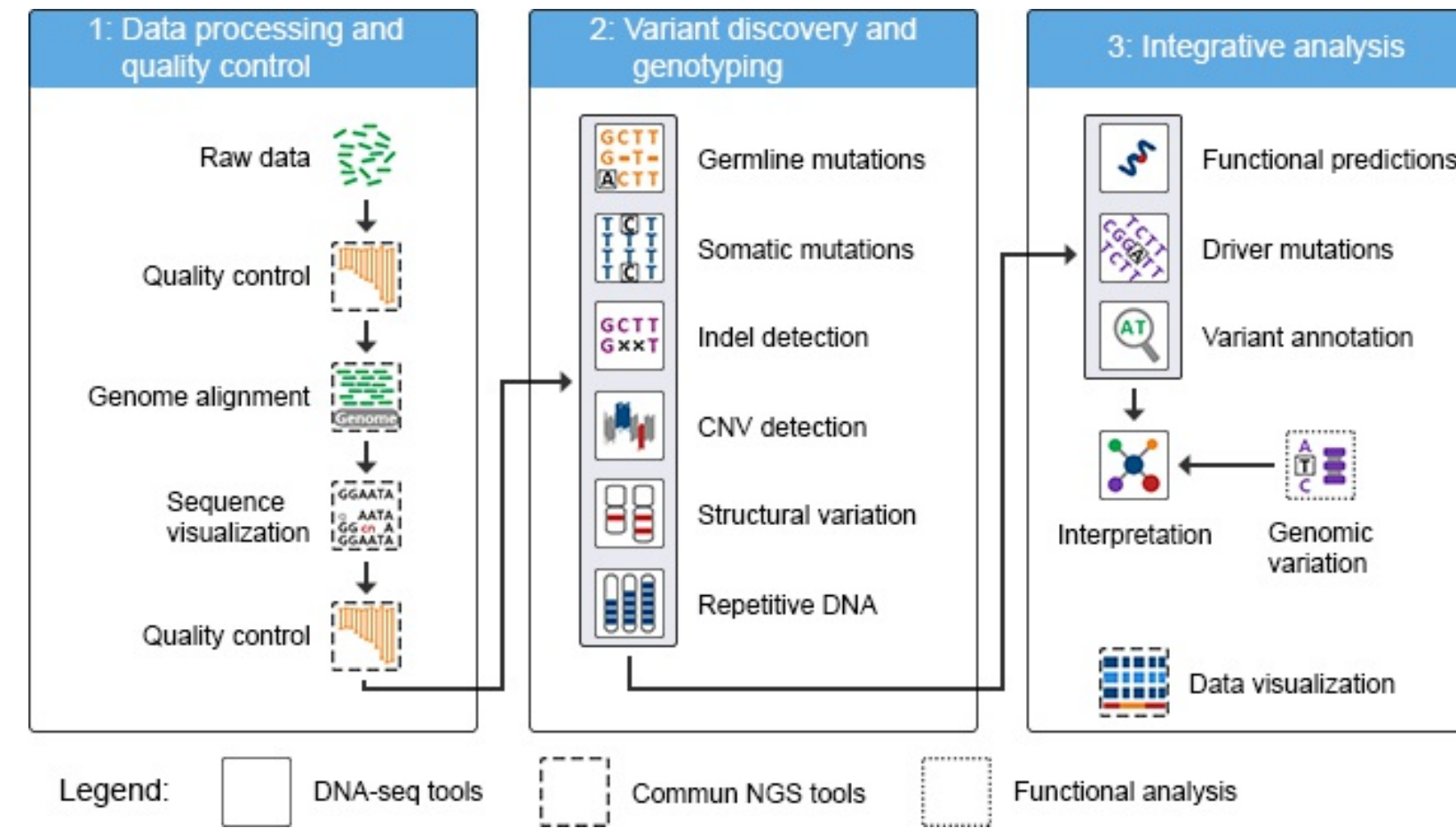
## Graphes de Bruijn



Crédits : Berger et al, Nat Rev Genet, 2013

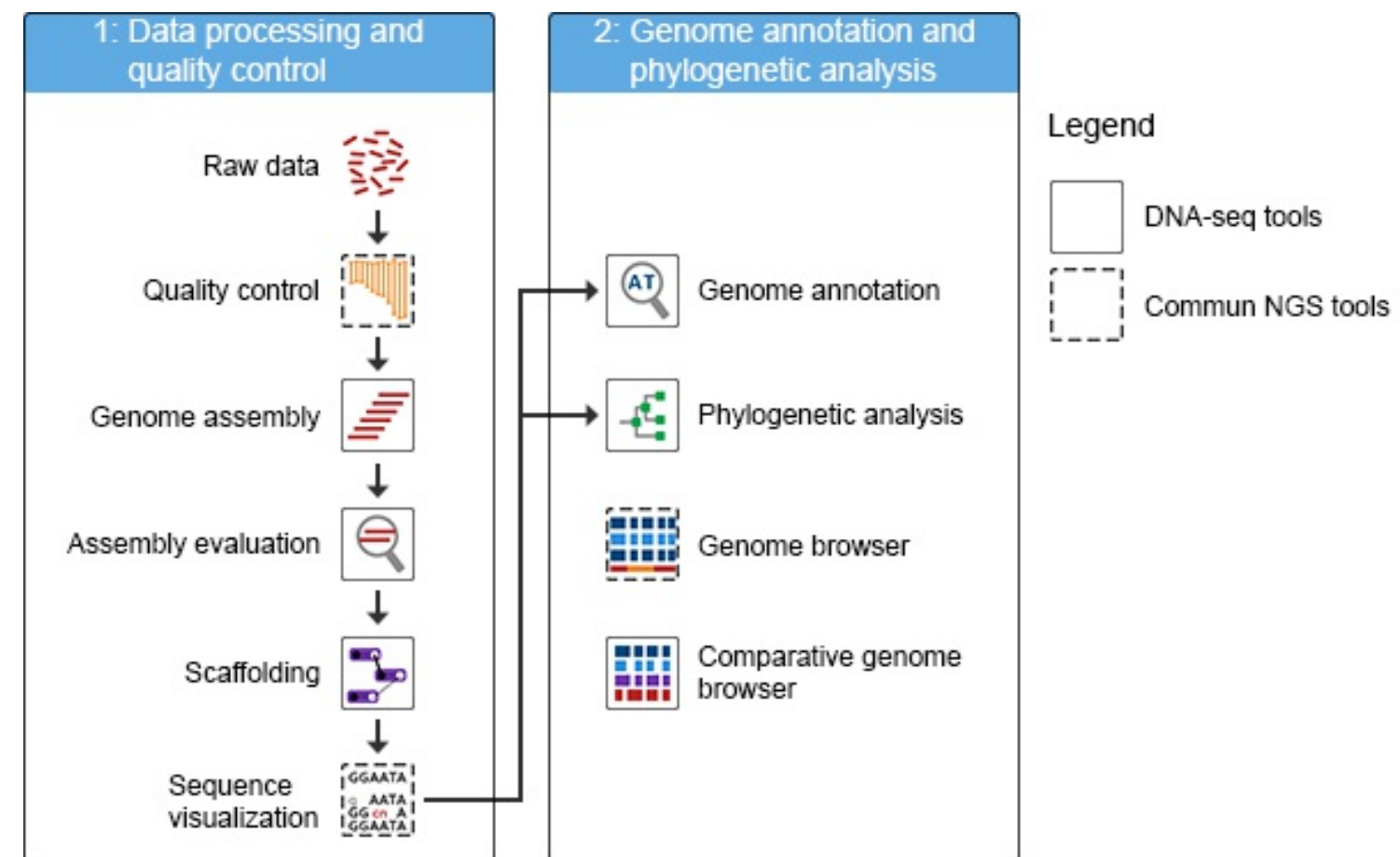
# Analyse des séquences

# Whole genome sequencing



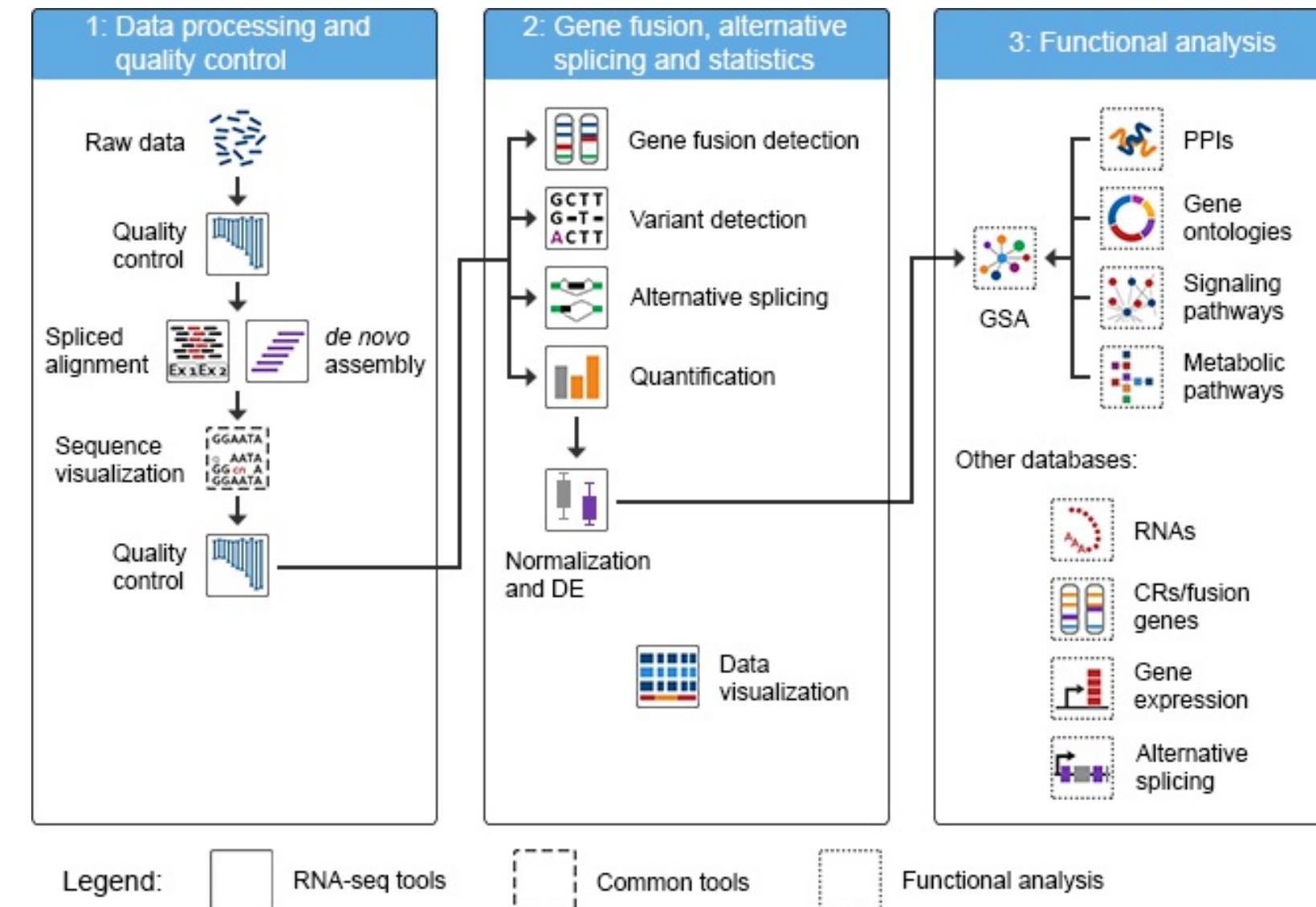
Crédits : OMICS Tools

# De novo genome sequencing



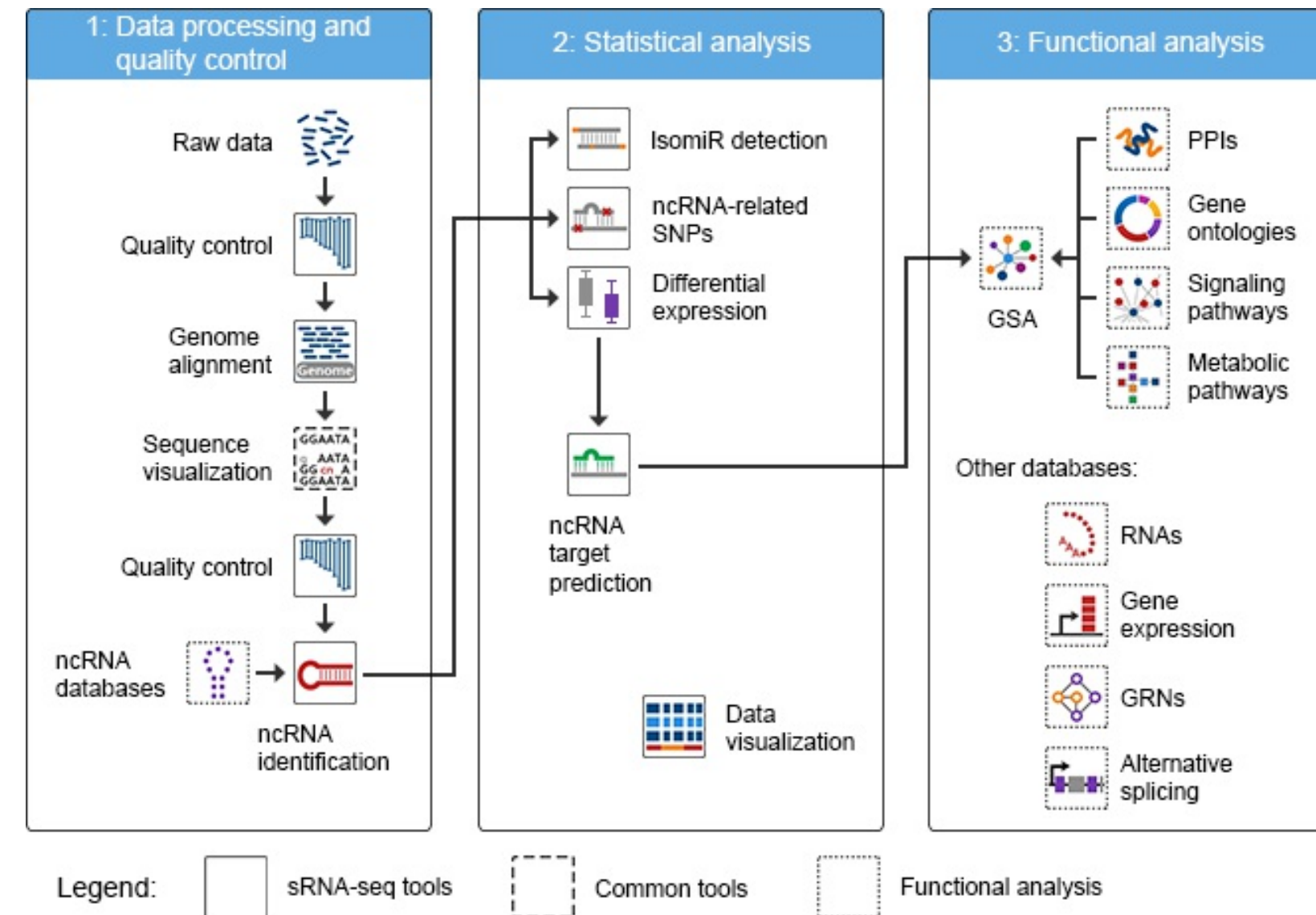
Crédits : OMICS Tools

# RNA-seq



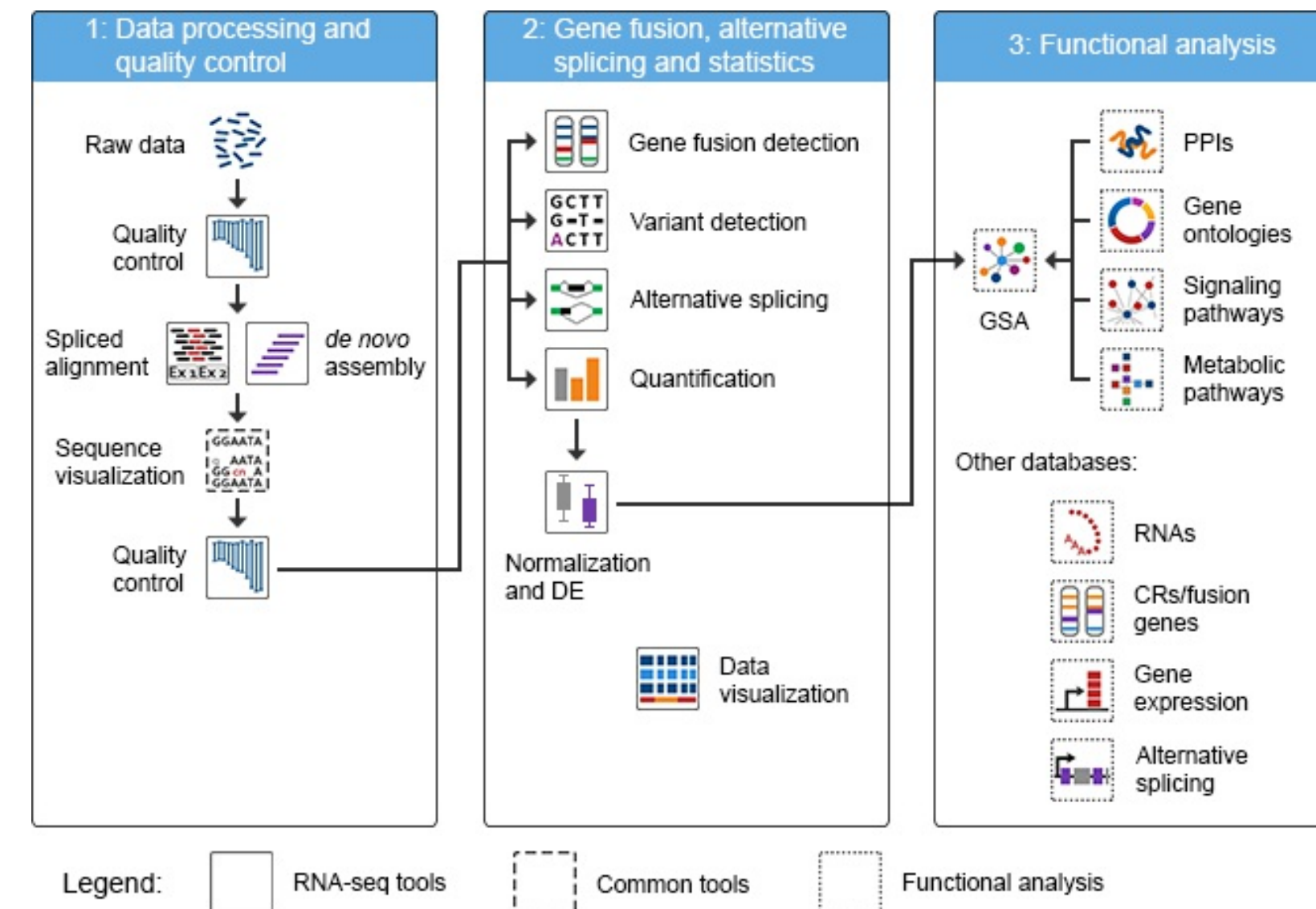
Crédits : OMICS Tools

# Small RNA-seq



Crédits : OMICS Tools

# Chip-seq



Crédits : OMICS Tools

# Références

- Vidéo sur l'apport d'Ion Torrent par rapport à Illumina
- QC fail
- Présentation de l'assemblage
- Différentes applications du séquençage haut-débit

# Métagénomique